

29/12

UNIVERSIDAD NACIONAL AUTONOMA DE MEXICO

FACULTAD DE CIENCIAS

APLICACION DEL METODO PIXE EN EL ANALISIS  
QUANTITATIVO DE LA COMPOSICION DE LA  
ALEACION EN LIMAS PARA ENDODONCIA

T E S I S

QUE PARA OBTENER EL TITULO DE

F I S I C O

P R E S E N T A

JUAN CARLOS CHEANG WONG

MEXICO

1988



## **UNAM – Dirección General de Bibliotecas Tesis Digitales Restricciones de uso**

### **DERECHOS RESERVADOS © PROHIBIDA SU REPRODUCCIÓN TOTAL O PARCIAL**

Todo el material contenido en esta tesis está protegido por la Ley Federal del Derecho de Autor (LFDA) de los Estados Unidos Mexicanos (México).

El uso de imágenes, fragmentos de videos, y demás material que sea objeto de protección de los derechos de autor, será exclusivamente para fines educativos e informativos y deberá citar la fuente donde la obtuvo mencionando el autor o autores. Cualquier uso distinto como el lucro, reproducción, edición o modificación, será perseguido y sancionado por el respectivo titular de los Derechos de Autor.

# **TESIS CON FALLA DE ORIGEN**

# INDICE

INTRODUCCION	1
CAPITULO I	
METODOS DE ANALISIS DE MATERIALES	7
1) Emision de Rayos X Inducidos por Particulas (PIXED)	8
2) Espectroscopia de Electrones Auger (AES)	15
3) Retrodispersion de Rutherford (RBS)	19
4) Espectroscopia de Masas de Iones Secundarios (SIMS)	24
5) Analisis por Activacion	29
6) Absolucion Atomica	34
CAPITULO II	
SECCION EFICAZ DE IONIZACION	37
CAPITULO III	
QUANTIFICACION DEL NUMERO DE RAYOS X	48
A) Radiacion Primaria	49
B) Radiacion Secundaria	53
C) Integracion Numerica	58
CAPITULO IV	
EXPERIMENTO, RESULTADOS Y CONCLUSIONES	
1) Dispositivo Experimental	64
2) Procedimiento Experimental	69
3) Medidas y Resultados	70
4) Conclusiones	79
APENDICE A	84
APENDICE B	96
REFERENCIAS	100

## INTRODUCCION

Los materiales, naturales o elaborados por el hombre, nos rodean por completo, desempeñan un papel preponderante y están intimamente relacionados con nuestro modo de vida. La tecnología debe utilizar inteligentemente los materiales para satisfacer las necesidades específicas de la sociedad. El interés de la industria en el desarrollo de numerosas aplicaciones determina qué materiales se producen, como fabricarlos y que propiedades se deben estudiar. Esto implica la selección de materiales con características, costo y disponibilidad óptimas.

El conocimiento cualitativo y cuantitativo de los elementos presentes en una sustancia o material nos permite estimar un cierto número de propiedades que puede presentar. La caracterización de materiales metálicos o aleaciones es de gran importancia para la industria metalúrgica, de semiconductores y, actualmente, de superconductores. Las propiedades estudiadas varían según las aplicaciones específicas de cada aleación; sin embargo, frecuentemente se dividen en propiedades físicas, mecánicas y químicas.

Entre las propiedades físicas se encuentran las relacionadas con fenómenos eléctricos y magnéticos, como son: resistividad, constante dielectrica, superconductividad, ferromagnetismo, etc.

También se pueden citar propiedades térmicas, como el calor específico, la conductividad térmica y el coeficiente de expansión térmica.

Como propiedades mecánicas se pueden mencionar: la elasticidad, la compresibilidad, la ductilidad, la dureza, etc. Finalmente, entre las propiedades químicas están la resistencia a la oxidación y a la corrosión.

El comportamiento y las características de cualquier instrumento dependen de muchos factores, como son:

- \* la composición cualitativa y cuantitativa de la aleación;
- \* la estructura cristalina interna;
- \* la producción y la formación de la aleación;
- \* los tratamientos térmicos aplicados.

Algunos de estos factores están incluidos en un campo de estudio más específico, como lo es la metalurgia. La metalurgia centra su interés, en términos muy generales, en:

- # el estudio de la corteza terrestre para encontrar minerales metálicos;
- # los métodos de separación y de recuperación del metal a partir del mineral que lo contiene;
- # los métodos de preparación, producción y formación de metales y aleaciones;
- # el estudio de las impurezas que pueden presentar;

- # la aplicación de pruebas para determinar las propiedades físicas, mecánicas y químicas;
- # los tratamientos térmicos necesarios para mejorar las características de una aleación.

Ninguna otra aleación es tan importante para la industria como lo es el acero. El acero ofrece una gran diversidad de propiedades que pueden ser aprovechadas en múltiples y variadas aplicaciones útiles en nuestra vida diaria. El acero es utilizado por la industria automotriz, electrónica, alimentaria, de transportes y comunicaciones, etc. Con el acero se fabrican instrumentos de medición, objetos de uso cotidiano, aparatos quirúrgicos y dentales, etc.

Entre los instrumentos dentales fabricados en acero se encuentran las limas utilizadas por los odontólogos para realizar trabajos de endodoncia. La endodoncia consiste en la extracción de la pulpa dental o nervio de un diente o de una muela. Las limas para endodoncia tienen forma de broca o helicé y la pulpa dental se extrae mediante el tallado continuo de la irma en el interior de la pieza dental en cuestión. Además, un tratamiento completo de endodoncia requiere la utilización de un serie de limas ligeramente distintas entre si (en tamaño y forma).

Por lo general, cada aplicación de un acero tiene sus condiciones de servicio particulares y debe presentar ciertas propiedades especiales. Para favorecer su óptimo funcionamiento, las limas para endodoncia requieren características específicas, como son:

dureza, flexibilidad, resistencia a la corrosión y a la oxidación.

Actualmente, las limas para endodoncia que se usan en México son importadas de países como Suiza, Alemania, Japón y los Estados Unidos, a precios muy altos. Se sabe que están fabricadas en acero, sin embargo, se desconoce su composición exacta. Por lo tanto, si se determina la composición cualitativa y cuantitativa de las limas, se tendrá la posibilidad de fabricarlas en México, con el subsecuente ahorro de divisas para nuestro país.

Existe una gran variedad de métodos para determinar la composición química de un material; la elección del método depende de ciertas características, entre las que se encuentran:

- \* el dispositivo experimental;
- \* la sensibilidad y confiabilidad del resultado;
- \* la rapidez en la obtención del resultado;
- \* el costo.

Sin embargo, hay métodos de análisis que sólo son aplicables en ciertos casos y que proporcionan distintos tipos y grados de información sobre la muestra estudiada, por lo que la elección dependerá fundamentalmente del problema específico que se busca resolver.

Entre los métodos accesibles para analizar la composición de un material se encuentran:

- 1) PIXE (Emisión de Rayos X Inducidos por Partículas);
- 2) AES (Espectroscopía de Electrones Auger);
- 3) RBS (Retrodispersión de Rutherford);
- 4) SIMS (Espectroscopía de Masas de Iones Secundarios);
- 5) Análisis por Activación;
- 6) Absorción Atómica.

Cada una de estas técnicas analíticas tiene sus características propias que se explicarán con mayores detalles en el capítulo I.

El Instituto de Física de la U.N.A.M. cuenta con un acelerador Van de Graaff para iones positivos, con energía máxima de 700 KeV, que puede ser usado como instrumento de análisis de materiales, si aplicar el método PIXE. La emisión de rayos X inducidos por partículas cargadas (PIXE) es un método analítico que permite determinar cuantitativamente las concentraciones de los distintos elementos presentes en la muestra del material estudiado (ii).

PIXE está basado en la generación de vacancias o huecos en las capas electrónicas de los átomos que constituyen la muestra por el impacto de iones con los átomos y la posterior emisión de rayos X, que se producen al llenarse las vacancias por electrones de capas más externas.

Cada elemento tiene una separación específica entre sus niveles electrónicos, por lo que la medición de la energía de los rayos X que emite permite su identificación. Como resultado se ob-

tiene un espectro de energías en el que cada pico corresponde a una transición entre capas electrónicas y el número de cuencas en un pico determinado es una medida de la abundancia del elemento que lo produce. Usando un programa de computadora hecho especialmente para analizar este tipo de espectros, se puede determinar la composición cualitativa y cuantitativa de la muestra.

De esta manera, PIXE ofrece una serie de características, como las siguientes:

- \* la muestra estudiada no necesita ser destruida;
- \* la posibilidad de analizar simultáneamente varios elementos a partir de un sólo espectro;
- \* alta sensibilidad.

Todo lo anterior hace de PIXE un gran método de análisis de materiales que ha podido ser implementado en el Instituto de Física con resultados muy satisfactorios en algunos casos.

Por lo tanto, el objetivo principal del presente trabajo de tesis es la aplicación del método PIXE en el análisis cuantitativo de la composición química de la aleación utilizada en la fabricación de limas para endodoncia. Asimismo, se abre la posibilidad de fabricarlas en nuestro país, lo que implicaría un ahorro inmediato de divisas, ya que, por el momento, las limas son importadas en su totalidad.

# CAPITULO I

## METODOS DE ANALISIS DE MATERIALES

En el presente capítulo se hace una breve revisión de algunos métodos utilizados para determinar la composición de materiales, prestando mayor atención al análisis PIXE. Con el fin de obtener la mejor y la más completa información sobre la muestra estudiada, deben quedar bien especificados los parámetros que se van a medir y el método que se va a utilizar.

Puesto que no existen técnicas de análisis aplicables en todos los casos, en la elección del método deberán tomarse en cuenta ciertos factores, como son:

- \* la disponibilidad del personal y del equipo necesarios;
- \* el número de muestras a analizar;
- \* la exactitud del método;
- \* la sensibilidad requerida;
- \* la preparación de las muestras;
- \* la rapidez para obtener los resultados;
- \* el costo del análisis.

Los métodos incluidos en esta revisión son:

- 1) PIXE (Particle Induced X-ray Emission);
- 2) AES (Auger Electron Spectrometry);
- 3) RBS (Rutherford Backscattering);
- 4) SIMS (Secondary Ion Mass Spectrometry);
- 5) Análisis por Activación;
- 6) Absorción Atómica.

## D) EMISIÓN DE RAYOS X INDUCIDOS POR PARTÍCULAS (PIXE)

El método PIXE se ocupa del análisis de los espectros de rayos X emitidos por una muestra, después de que ésta ha sido bombardeada por protones u otro tipo de partículas cargadas. Se dice que la emisión de rayos X es inducida por las partículas cargadas. Como se verá a continuación, el análisis PIXE permite determinar la composición cualitativa y cuantitativa de la muestra, a partir de los espectros de rayos X, ya que estos caracterizan al elemento que los emite. En los últimos años, esta técnica analítica ha experimentado un desarrollo muy importante, con aplicaciones en campos muy diversos [1].

La muestra que va a ser analizada se encuentra, sobre un

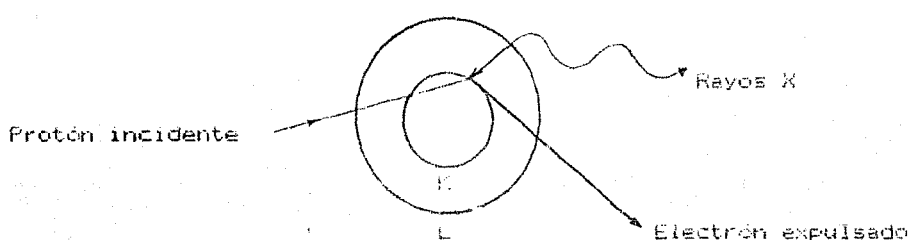
porta-blanco, dentro de una cámara de dispersión. En el interior, la cámara está a un vacío (presión) de alrededor de  $10^{-6}$  torr. (1 torr = 1 mm de Hg), para evitar posibles frenamientos o desviaciones del haz de iones por colisiones con moléculas del aire.

Cuando el blanco es bombardeado por protones o por iones más pesados, algunos electrones son removidos de sus posiciones originales en las capas o niveles electrónicos de los átomos que lo constituyen. Los impactos causan la excitación de los electrones y estos abandonan su capa original. Si la energía transferida en la colisión es superior a la energía de amarre para una capa dada del átomo correspondiente, entonces este queda ionizado, es decir, que el electrón ha sido separado por completo del átomo. Así, el bombardeo con iones genera vacancias o huecos en las capas electrónicas de los átomos de la muestra.

Electrones de capas más externas van a llenar estas vacancias, con el fin de desexcitar al átomo. Estos electrones están menos ligados al átomo, por lo que al pasar a ocupar la vacancia deben ceder energía. Una forma de liberar este exceso de energía es emitiendo un fotón. Dicho fotón se emite con una energía igual a la diferencia entre las energías de amarre de las capas involucradas. Por ejemplo, si un electrón pasa de la capa L a la capa K, el fotón emitido tendrá una energía igual a la diferencia entre la energía de amarre de la capa L y la de la capa K (Figura 1).

Generalmente, si la transición del electrón involucra capas K, L o M, la energía del fotón emitido corresponde al intervalo de

frécuencias de los rayos X (entre  $10^{16}$  y  $10^{18}$  Hertz). La capa K es única, mientras que la capa L se divide en 3 subcapas ( $L_1, L_2, L_3$ ) y la capa M en 5 ( $M_1, M_2, M_3, M_4, M_5$ ).



\* Fig.1.- Mecanismo de emisión de un foton de rayos X \*

Por lo tanto, la interacción entre los iones acelerados y los átomos de la muestra puede conducir a la emisión posterior de rayos X. Sin embargo, esta es una descripción muy simplificada de este fenómeno, ya que no incluye los detalles de la sección eficaz de ionización y de la posible emisión de electrones Auger. Por lo mismo, en el capítulo II, se discutirá el proceso de ionización de capas electrónicas internas debido a las colisiones ion-atomo.

La separación entre los niveles electrónicos de un atomo, es decir, la diferencia entre las energías de amarre de las capas involucradas en la transición, es una marca distintiva para cada elemento. Así, un elemento puede ser identificado o caracterizado por los rayos X que emite, por lo que estos son llamados rayos X característicos.

El auge que en los últimos años ha experimentado el método

PIXE esté fuertemente ligado al desarrollo de los detectores semiconductores o de estado sólido y de dispositivos electrónicos asociados, tales como amplificadores, multicanales y computadoras.

Los detectores semiconductores ofrecen una rápida y fácil manera de medir los rayos X emitidos por la muestra. Además, la resolución y el intervalo de energías que pueden detectar son muy grandes.

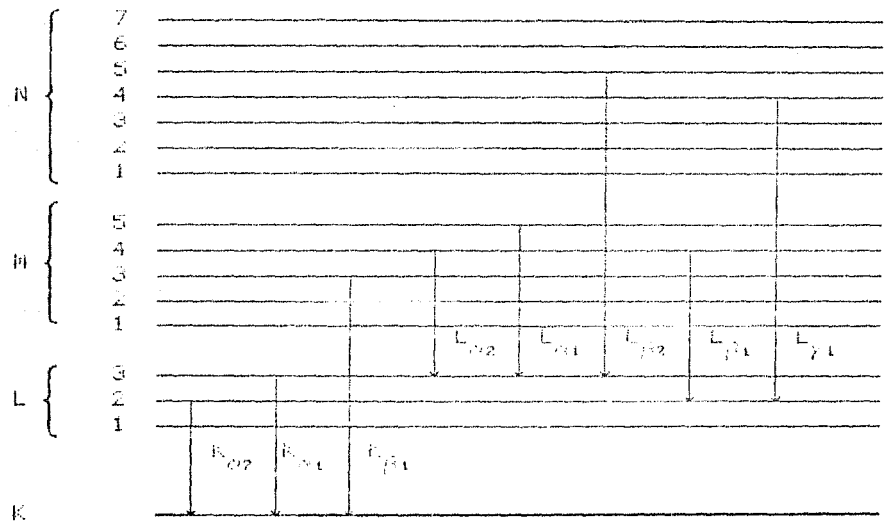
Cada elemento emite un foton de rayos X característicos que es recibido por el detector, el cual, a su vez, emite un pulso de amplitud proporcional a la energía del foton. Despues de pasar por un pre-amplificador y por un amplificador, los pulsos enviados por el detector se acumulan en un analizador multicanal.

Cuando un electron externo pasa a ocupar una vacancia en una capa interna, además de la emisión del foton de rayos X correspondiente, se crea una vacancia en la capa ocupada previamente por el electron. A su vez, esta vacancia sera llenada por otro electron más externo, se emitira el foton que corresponde a esta transición y así sucesivamente.

Si la transición del electron externo es hacia la capa K, se dice que se emiten rayos X K del elemento correspondiente. Específicamente, si el electron pasa de la subcapa L<sub>2</sub> a la capa K, en el espectro de energías se observa la llamada linea K<sub>2p1</sub> del elemento. La linea K<sub>2p1</sub> se emite cuando la transición es de la subcapa K<sub>2</sub> a la capa K.

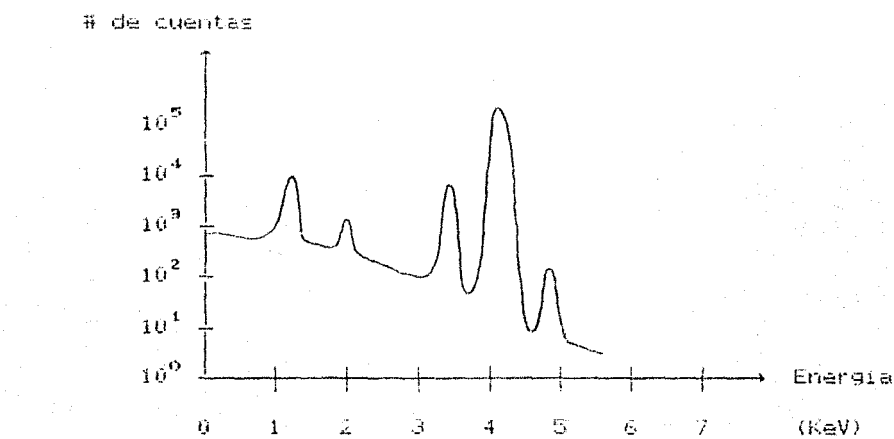
De manera análoga se obtienen las líneas L o rayos X L cuando las vacancias en la capa L son ocupadas por electrones de capas más externas.

Así, para cada transición, la notación utilizada consiste de una letra mayúscula que designa a la capa con la vacancia (K,L,M) y de un subíndice ( $\alpha, \beta, \gamma, \dots$ ) para el electrón que llega a ocupar la vacancia, de acuerdo a la intensidad relativa de los rayos X (Figura 2).



\* Fig.2.- Transiciones correspondientes a las líneas de rayos X \*

Un típico espectro de rayos X característicos consiste de una serie de picos superpuestos sobre un fondo continuo de radiación o *background*. Cada pico corresponde a una transición entre niveles electrónicos de un atomo determinado (Figura 3).



\* Fig.3.- Tipico espectro de rayos X \*

Los picos de rayos X caracteristicos permiten la identificación de los elementos presentes en la muestra estudiada, ya que cada elemento tiene su propia estructura de niveles de energía o transiciones permitidas.

Para determinar la concentración o abundancia de un elemento es necesario calcular el área de los picos correspondientes. Una manera de hacerlo es sumar las cuentas de todos los canales bajo un pico dado y restar la contribución debida al ruido.

El ruido (background) puede limitar la observación de los picos de rayos X provenientes de los elementos menos abundantes en la muestra, si la concentración de estos es demasiado baja. Una de las mayores fuentes de ruido es el *bremsestrahlung*, es decir, la radiación producida por el frenamiento del proyectil al atravesar la muestra.

Una vez calculadas las áreas de los picos, estas deben ser relacionadas con el numero total de rayos X característicos producidos por un elemento en particular. Dicha radiación está compuesta tanto por los rayos X primarios provocados por los protones, como por los rayos X secundarios producidos al haber ionización por parte de los mismos rayos X primarios.

En el capítulo III se explicaron una serie de importantes mecanismos que intervienen en el proceso de ionización de un atomo y la posterior emisión de rayos X característicos. Estos últimos deben ser cuantificados para poder determinar la concentración en la muestra del elemento que los produce. Entre estos mecanismos se encuentran:

- \* el frenamiento que sufren los iones al atravesar la muestra;
- \* la probabilidad de que un proyectil ionice algún atomo de la muestra (sección eficaz de ionización);
- \* la desexcitación mediante la emisión de un fotón de rayos X;
- \* la attenuación de los rayos X al cruzar la muestra.

El método PIXE ofrece la ventaja de que la muestra a analizar no necesita ser destruida, lo cual es muy importante cuando se trata de muestras únicas. Al utilizar un haz de protones el daño que sufre la muestra es mínimo comparado con el provocado por iones más pesados.

Además, PIXE es multi-elemental, o sea, permite analizar simultáneamente los elementos (con número atómico  $Z \geq 13$ ) presentes

tes en la muestra, a partir de un único espectro. Por otra parte, PIXE llega a detectar trazas de elementos, lo que lo hace un método de análisis muy sensible.

Todas estas ventajas hacen de PIXE un método analítico muy utilizado en un gran número de aplicaciones prácticas. Puesto que es posible detectar rayos X provenientes de profundidades importantes, PIXE se ha convertido en una técnica muy útil en el análisis de muestras de gran espesor. En la actualidad, PIXE permite el estudio de la composición de tejidos biológicos, de piezas arqueológicas y geológicas, de muestras metalúrgicas, etc, con resultados bastante satisfactorios [2].

## 2) ESPECTROSCOPIA DE ELECTRONES AUGER (AES)

Como ya se dijo, cuando un átomo es ionizado en una de sus capas internas, un electrón de alguna capa más externa llena la vacancia y se libera el exceso de energía mediante la emisión de un foton de rayos X, el cual es característico del elemento. Sin embargo, también es posible liberar esta energía mediante la emisión de un electrón. Este proceso se conoce como Efecto Auger y la energía del electrón Auger es también característica del elemento emisor.

Consideremos un atomo con una vacancia inicial en la capa K, la cual se llena con un electron de la capa L. Si el atomo libera la energia debida a la transicion K-L mediante la emision de un electron de la capa L o M. De este proceso resulta un atomo doblemente ionizado LL, es decir, con 2 vacancias en la capa L, una de ellas creada al llenarse la vacancia original en la capa K y la otra debida al efecto Auger. Se acostumbra decir que el atomo esta en el estado KLL o KLM.

El efecto Auger es mas comun en elementos con numero atomico pequeno, ya que los electrones estan menos ligados. Por la misma razon, es mas notorio para la serie L que para la K.

Como consecuencia del efecto Auger, solo una fraccion de los atomos ionizados se desexcita mediante la emision de un fotón de rayos X. Sea  $\omega_K$  la fluorescencia de rayos X K, es decir, el cociente entre el numero de fotones emitidos de todas las lineas en la serie K, en la unidad de tiempo y el numero total de vacancias creadas en la capa K durante el mismo tiempo. Entonces, la fluorescencia o produccion de electrones Auger es igual a  $1 - \omega_K$ .

El dispositivo experimental utilizado para el analisis de electrones Auger consiste esencialmente de una fuente para la excitacion de electrones Auger, un sistema de vacio, un analizador de energias de los electrones Auger y un sistema de detección y medida (Figura 4).

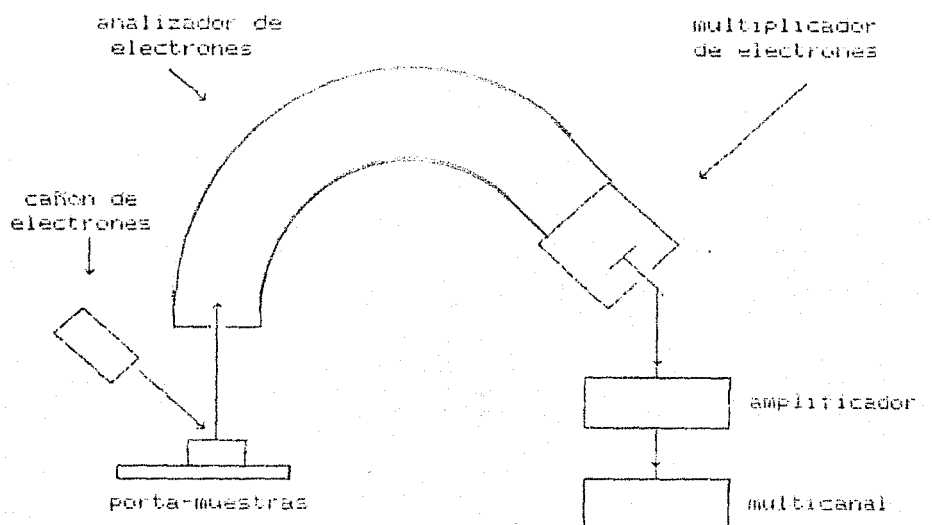


Fig.4.- Dispositivo Experimental \*

En general, se utiliza como fuente de excitación un cañón de electrones. El haz de electrones, al incidir sobre la muestra, además de producir electrones Auger, origina muchos electrones secundarios y dispersados. Todos estos electrones provenientes de la muestra entran en el analizador de energías. Este los separa de acuerdo a su energía, al hacerlos pasar a través de 2 placas cargadas, curvas y paralelas. Para un potencial determinado entre las placas, únicamente los electrones con una cierta velocidad pasarán a través del analizador.

El voltaje aplicado se varía de manera continua y uniforme, permitiendo el paso en secuencia de electrones con energías distintas. Los electrones que logran salir del analizador entran en el multiplicador de electrones, donde cada electrón produce un

pulso de salida de  $10^6$  o mas electrones. El pulso es amplificado y diferenciado electronicamente y finalmente se obtiene un espectro, a partir del cual es posible cuantificar la presencia de determinado elemento en la muestra.

Generalmente se usa el haz de electrones con energía cercana a los 2.5 KeV, con el fin de obtener el maximo numero de electrones Auger. Este haz puede penetrar hasta una profundidad considerable en la muestra y producir electrones Auger; estos, sin embargo sufren una gran cantidad de colisiones al atravesar la muestra y dificilmente logran salir y ser detectados. Entonces, en la practica, solo pueden detectarse los electrones Auger que provienen de una profundidad maxima de 10 a 30 Å. Por lo tanto AES es una tecnica muy utilizada para el analisis de superficies [3].

El numero de electrones bajo un cierto punto de energia que caracteriza al elemento que lo origina, nos permite cuantificar la concentracion de dicho elemento en la muestra. Puesto que el efecto Auger es mas importante para elementos ligeros, la espectroscopia de electrones Auger se aplica preferentemente a muestras que contengan estos elementos.

### 3) RETRODISPERSION DE RUTHERFORD (RBS)

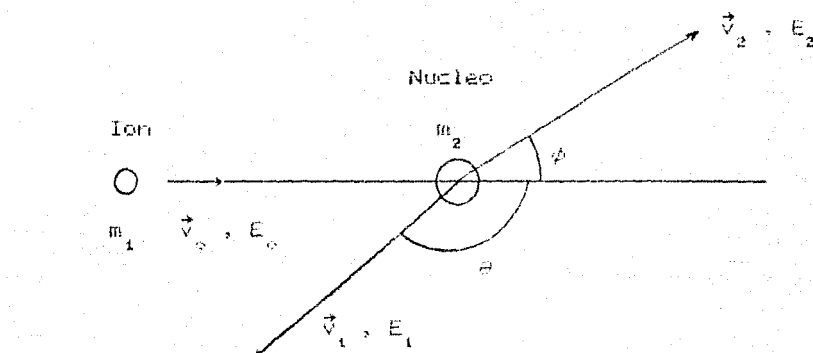
El método RDS o de Retrodispersión de Rutherford es un método analítico muy utilizado para determinar la composición de una muestra. Cuando un haz de iones positivos incide sobre una muestra de espesor considerable, solo los iones dispersados o desviados hacia atrás (a ángulos mayores de 90° respecto a la dirección del haz incidente) pueden ser detectados, por lo que reciben el nombre de iones retrodispersados. La energía retenida por estos iones después de la colisión es única para cada uno de los posibles átomos que constituyen la muestra, lo cual permite identificarlos al medir esta energía [4].

Un haz de protones u otro tipo de iones positivos incide sobre la muestra colocada en el interior de una cámara de dispersión, a un vacío de alrededor de  $10^{-6}$  torr. Algunos de estos iones llegan a acercarse a tal punto al núcleo de algún átomo de la muestra, que son deflectados. Esta desviación se explica por la fuerza repulsiva de origen coulombiano entre el ion y el núcleo positivo.

La interacción entre el ion y el núcleo puede ser descrita como una simple colisión elástica entre 2 partículas aisladas. Supongamos que un proyectil de masa  $m_1$ , velocidad  $v_0$  y energía  $E_0$ , incide sobre un átomo de masa  $m_2$ , que se encuentra en reposo, respecto a un sistema de referencia fijo en el laboratorio.

Al chocar, el proyectil transmite parte de su momento y de su energía al átomo y además es desviado por éste un ángulo  $\theta$  (ángulo de dispersión, medido en el sistema del laboratorio). Después

de la colisión, las velocidades del proyectil y del atomo son  $v_1$  y  $v_2$ , respectivamente.



\* Fig.5.- Colisión elástica entre un ion y un núcleo \*

Como se trata de una colisión elástica, los principios de conservación del momento lineal y de la energía son válidos. Entonces se encuentra que:

$$m_1 v_0^2 = m_1 v_1^2 + m_2 v_2^2 \quad (1)$$

$$m_1 v_0 = m_1 v_1 \cos\theta + m_2 v_2 \cos\phi \quad (2)$$

$$0 = m_1 v_1 \operatorname{sen}\theta - m_2 v_2 \operatorname{sen}\phi \quad (3)$$

Eliminando  $\phi$  y luego  $v_2$ , se obtiene que:

$$v_1 / v_0 = [(m_2^2 - m_1^2 \operatorname{sen}^2\theta)^{1/2} + m_1 \operatorname{cos}\theta] / (m_1 + m_2)$$

Se define el factor cinemático  $K$  como el cociente entre las energías  $E_1$  y  $E_0$  del proyectil después y antes de la colisión elástica, respectivamente:  $K = E_1 / E_0$ , o sea,

$$K = \frac{\left\{ 1 + \left( m_1/m_2 \right)^2 \sin^2 \theta \right\}^{1/2} + \left( m_1/m_2 \right) \cos \theta}{1 + \left( m_1/m_2 \right)^2} \quad (4)$$

La ecuación (4) indica que la energía de retrodispersión  $E_1$  retenida por un proyectil de masa  $m_1$ , que es dispersado un ángulo  $\theta$  después de la colisión, solo depende de la masa  $m_2$  del atomo blanco. Así, para  $m_1$ ,  $E_0$  y  $\theta$  dados y midiendo  $E_1$ , se puede encontrar la masa  $m_2$  mediante el factor cinemático  $K = K(m_2)$ .

Como ya se dijo, la dispersión puede explicarse mediante un tratamiento clásico de la interacción coulombiana entre el ion incidente y el núcleo. Así, la sección eficaz diferencial de dispersión  $d\sigma/d\Omega$  queda correctamente descrita por la fórmula de Rutherford, en coordenadas del laboratorio (4):

$$\frac{d\sigma}{d\Omega} = \frac{\left[ Z_1 Z_2 e^2 \right]^2}{ZE \sin^2 \theta} \frac{\left[ m_2 \cos^2 \theta + \left( m_2^2 - m_1^2 \sin^2 \theta \right)^{1/2} \right]^2}{m_2 \left( m_2^2 - m_1^2 \sin^2 \theta \right)^{1/2}} \quad (5)$$

donde  $Z_1$  y  $Z_2$  son los números atómicos del proyectil y del atomo blanco respectivamente y  $E$  es la energía del proyectil inmediatamente antes de la colisión.

La probabilidad de que ocurra la dispersión nos da la sección eficaz diferencial de dispersión y, por lo mismo,  $d\sigma/d\Omega$  nos permite hacer un análisis cuantitativo a partir del número de iones retrodispersados.

La sección eficaz de dispersión es proporcional a  $Z^2$ , por lo que la probabilidad de que haya iones retrodispersados es mayor cuando la muestra contiene elementos de número atómico grande. Por tanto, la sensibilidad de RBS para detectar elementos pesados es más alta que para ligeros.

Sin embargo, existe la desventaja de que la resolución de RBS para distinguir la diferencia entre las masas atómicas de 2 elementos pesados es baja, ya que el factor cinemático  $K$  no varía considerablemente cuando se trata de 2 masas muy semejantes. Se puede mejorar la resolución de RBS para elementos pesados si se utilizan proyectiles más pesados, pero el daño que sufre la muestra es mayor.

El dispositivo experimental usado para RBS es parecido al de PIXE, pero con la diferencia de que se usa un detector de partículas (detector de barrera superficial). Este se encuentra colocado en el interior de la cámara de dispersión, a un ángulo  $\theta$  (cercano a  $180^\circ$ ), respecto a la dirección del haz incidente.

En el multicanal se obtiene el espectro de energías de RBS, en el cual se grafica el número de iones retrodispersados, a un cierto ángulo  $\theta$ , en función de su energía de retrodispersión  $E_t$  (canales desde 0 hasta la energía incidente  $E_0$ ). La concentración de un elemento en la muestra se determina a partir de la altura de sus señales (las cuentas generadas por el elemento dado).

Al atravesar la muestra, el proyectil pierde parte de su

energía al ionizar y excitar átomos de la muestra. Cuando encuentra un núcleo y es retrodispersado, el proyectil también pierde energía durante su recorrido hacia el detector. Este fenómeno permite determinar la profundidad alcanzada por el proyectil dentro de la muestra, al medir cuánta energía ha perdido. Por lo tanto, el método RBS es muy utilizado para obtener la concentración de la muestra en función de la profundidad (perfíles de concentración) (5).

La exactitud de un análisis cuantitativo con RBS, disminuye cuando se trata de compuestos que contienen elementos pesados y ligeros, debido a que las señales de los elementos ligeros están siempre superpuestas a las señales de los pesados. Por tanto, el método RBS no es muy útil para analizar muestras compuestas. En este caso se utiliza preferentemente el método PIXE. Por lo mismo, se acostumbra decir que RBS y PIXE son técnicas analíticas que se complementan.

#### 4) ESPECTROSCOPIA DE MASAS DE IONES SECUNDARIOS (SIMS)

La espectroscopía de masas de iones secundarios (SIMS) es otra técnica analítica que permite conocer la composición de una muestra. La información se obtiene a partir de las partículas car-

gadas que son expulsadas de la superficie de la muestra, después de que esta ha sido bombardeada por un haz de iones monoenergéticos. Estas partículas son detectadas por espectrometros de masas de gran sensibilidad, que hacen de SIMS un método muy utilizado para realizar análisis, tanto de la superficie como del interior de un sólido [6].

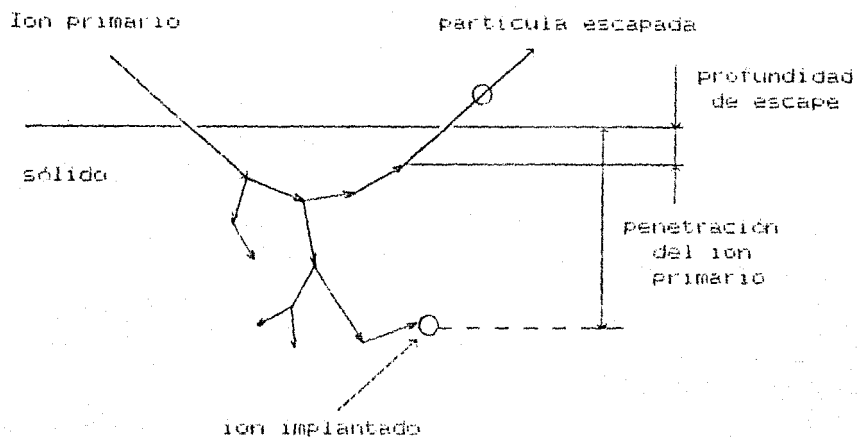
Al incidir sobre una muestra sólida, un ion monoenergético puede ser retrodispersado por algún atomo de la superficie o puede atravesar cierta profundidad en la muestra. En caso de penetrar, el ion transmite su energía y su momento a átomos de la muestra, por medio de colisiones elásticas e inelásticas.

Al chocar, el ion incidente cede parte de su momento a un atomo estacionario, el cual, a su vez, es capaz de hacer lo mismo con otro atomo de la muestra (Figura 6). De manera análoga, se siguen produciendo colisiones entre los demás átomos de la muestra, hasta que, finalmente, hay alguno que logra salir del sólido. A este mecanismo de escape de átomos se le conoce como Sputtering o erosión iónica.

El fenómeno de Sputtering se produce cuando los átomos dispersados, en la superficie de la muestra o muy cerca de ella (profundidad  $\leq 50 \text{ \AA}$ ), tienen la dirección y la energía necesarias para escapar del sólido.

Los átomos que logran abandonar el sólido (*sputtered atoms*) pueden ser neutros, cargados (iones secundarios positivos o negati-

tivos) o en un estado excitado. Despues de varios choques, el proyectil incidente se detiene y queda en el interior de la muestra como un ion implantado.



\* Fig.6.- Mecanismo Sputtering \*

En general, las partículas que escapan de la muestra lo hacen desde la superficie hasta profundidades del orden de 20 Å. Esta profundidad de escape depende de diversos parámetros, como son la energía del ion primario, los números atómicos y las masas de este y de los átomos de la muestra, así como las energías atómicas de amarre en el sólido (6).

Los proyectiles más usados para bombardear una muestra son iones de argón y de oxígeno ( $\text{Ar}^+$ ,  $\text{O}_2^+$ ,  $\text{O}^-$ ). Generalmente, los iones de oxígeno provocan una mayor producción de iones secundarios (7).

Si la energía del ion primario es menor que 1 MeV, la mayoría de los desplazamientos atómicos ocurren en la superficie de la muestra o cerca de ella y no a una profundidad importante ( $\geq 50 \text{ \AA}$ ) en el sólido.

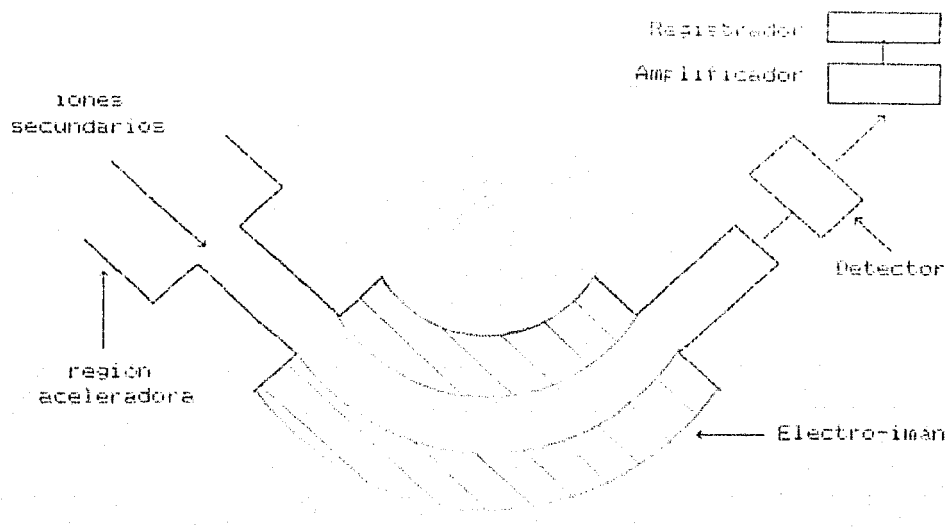
Para análisis a profundidades importantes, se utilizan iones incidentes más energéticos para remover capas atómicas sucesivas, mientras que se analizan los electrones Auger o los iones secundarios emitidos por la muestra. Esto significa que el sputtering es un proceso destructivo. Las ventajas y limitaciones de AES y SIMS hacen que sean técnicas analíticas complementarias.

Los iones secundarios emitidos por la muestra son analizados mediante un espectrografo de masas (Figura 7). Los iones de masa m y de carga q, al pasar a través de un campo eléctrico acelerador, alcanzan una velocidad v que puede expresarse en términos del voltaje acelerador V y de la energía cinética del ion cuando abandona el campo eléctrico:

$$\frac{1}{2} m v^2 = q V \quad (6)$$

Si posteriormente estos iones entran en un campo magnético uniforme B, perpendicular a la velocidad v de los iones, describirán trayectorias circulares. El radio de la circunferencia está dado por:

$$r = m v / q B \quad (7)$$



\* Fig.7.- Espectrografo de masas \*

Sustituyendo de (6) la velocidad  $v$ , se obtiene el radio  $r$  en función del cociente carga-masa  $q/m$  de los iones:

$$r = \frac{\sqrt{2V}}{B\sqrt{q/m}} \quad (8)$$

Sólomente aquellos iones que sigan una trayectoria que coincide con el arco del tubo analizador en el campo magnético serán dirigidos hacia el detector. Los iones con distinto cociente  $q/m$  chocarán con el tubo, el cual está conectado a tierra. Así, los iones serán neutralizados y podrán ser bombeados al exterior del sistema, junto con átomos no ionizados y fragmentos no cargados.

De esta manera, el campo magnético separa y discrimina los iones de acuerdo a su cociente  $q/m$ . Los distintos iones serán co-

lectados según las condiciones de operación dadas por:

$$q/m = 2V/B^2 r^2 \quad (9)$$

Se puede obtener un espectro de masas al variar de manera continua y uniforme el voltaje acelerador o la intensidad del campo magnético. Usualmente, el voltaje se varía y el campo se mantiene fijo y cada específico  $q/m$ , desde elementos ligeros hasta pesados, se dirige sucesivamente hacia el detector.

SIMS alcanza sensibilidades de hasta 1 ppm (una parte por millón) bajo condiciones favorables. Además, permite detectar elementos con número atómico pequeño. Por lo tanto, SIMS es muy utilizado para realizar análisis de superficies y para obtener perfiles de concentración, así como para la caracterización de trazas de elementos en sólidos.

## 5) ANALISIS POR ACTIVACION

El análisis por activación es una técnica que consiste en hacer incidir un haz (partículas cargadas o neutrones) lo suficientemente energético sobre una muestra y provocar reacciones nucleares. Las radiaciones resultantes de este bombardeo son caracte-

terísticas y permiten identificar a los elementos presentes en la muestra.

Generalmente, los proyectiles utilizados para inducir reacciones nucleares son: protones, deuterios, tritios,  $^3\text{He}$  y partículas  $\alpha$  y sus energías varían entre 1 y 5 MeV. Las reacciones nucleares que el haz incidente puede inducir dependen de la energía del haz y de los elementos que constituyen el proyectil y la muestra.

Para que la reacción nuclear ocurra, el haz incidente debe tener la suficiente energía para superar a la energía potencial electrostática debida al núcleo de algún atomo de la muestra. Esta energía potencial es proporcional a  $Z_1 Z_2 / r$ , donde  $Z_1$  y  $Z_2$  son los números atómicos del proyectil y del atomo blanco, respectivamente y  $r$  es la distancia de interacción (8).

Al producirse la reacción nuclear, el núcleo queda activado, es decir, la colisión entre el proyectil y el núcleo ha transformado a este último en un núcleo radiactivo. Las radiaciones emitidas por el núcleo radiactivo son características del elemento que las produce. La identificación del núcleo radiactivo mediante el análisis de las radiaciones que emite es posible gracias a la existencia de niveles de energía atómicas y nucleares propios para cada elemento.

Una reacción nuclear entre un proyectil de masa  $m_1$  y un núcleo estacionario de masa  $m_2$  puede dar lugar a partículas distintas

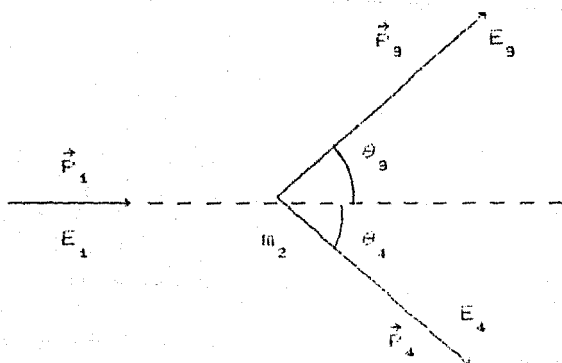
tas de masas  $m_3$  y  $m_4$ , donde  $m_3$  representa a la radiación emitida, que puede ser una partícula radiactiva o un rayo  $\gamma$  y  $m_4$  es el núcleo residual o fragmentado (Figura 8).

Puesto que sólo fuerzas internas están involucradas en una colisión, tanto el momento lineal como la energía total del sistema se conservan. Entonces, se tienen:

$$P_1 = P_3 + P_4 \quad (10)$$

$$E_1 + E_{12} = E_3 + E_4 + E_{34} \quad (11)$$

donde  $E_1$ ,  $E_3$  y  $E_4$  son, respectivamente, las energías cinéticas del proyectil incidente y de las partículas resultantes y  $E_{12}$  y  $E_{34}$  son las energías potenciales internas, antes y después de la colisión.



\* Fig.8.- Mecanismo de una Reacción Nuclear \*

Se define el valor  $\theta$  de la reacción como:

$$Q = E_3 + E_4 - E_1 = E_{12} - E_{34} \quad (12)$$

Por lo que  $Q$  es igual a la diferencia entre las energías cinéticas final e inicial o entre las energías potenciales internas inicial y final.  $Q$  es la energía absorbida en la reacción y representa la diferencia entre las energías totales (en reposo) del sistema, antes y después de la reacción, es decir:

$$Q = (m_1 + m_2) c^2 - (m_3 + m_4) c^2 \quad (13)$$

donde  $c$  es la velocidad de la luz.

Si  $Q > 0$ , se dice que la reacción es exoenergética, mientras que si  $Q < 0$ , es endoenergética.

A partir de las ecuaciones de conservación se obtiene la siguiente expresión no-relativista para la energía  $E_3$  de la partícula de masa  $m_3$  emitida en la reacción (8):

$$E_3 = \frac{m_1 m_3 E_1}{(m_3 + m_4)^2} \left\{ 2 \cos^2 \theta_3 + \frac{m_4 (m_3 + m_4)}{m_1 m_3} \left\{ \frac{Q}{E_1} + 1 - \frac{m_1}{m_4} \right\} \right. \\ \left. + 2 \cos \theta_3 \left[ \cos^2 \theta_3 + \frac{m_4 (m_3 + m_4)}{m_1 m_3} \left\{ \frac{Q}{E_1} + 1 - \frac{m_1}{m_4} \right\} \right]^{1/2} \right\} \quad (14)$$

Así, para una reacción dada y para una energía y un ángulo determinados, el espectro de energías dependerá de los posibles valores  $Q$  de la reacción.

Si el núclico residual  $m_4$  es dejado en un estado de energía excitado,  $\theta$  tendrá un valor inferior al valor que tendría si  $m_4$  fuera dejado en su estado base. La diferencia entre estos valores es igual a la diferencia entre las energías del estado excitado y del estado base.

Como los estados excitados están bien definidos, el espectro de energías  $E_9$  mostrará una serie de picos estrechos que corresponden a cada uno de los estados excitados del núclico residual. De esta manera, el espectro de  $E_9$  resulta ser característico de los posibles valores  $\theta$  de la reacción o, equivalentemente, de los estados excitados del núclico residual.

Por lo tanto, el espectro de energías caracteriza a la reacción que acaba de ocurrir y puede usarse para identificar la presencia en la muestra de un isótopo elemental dado.

La radiación nuclear, rayos y/o partículas cargadas, se mide con detectores que producen un pulso de voltaje proporcional a su energía. Generalmente, para los rayos y se utilizan detectores de centelleo y para las partículas cargadas, detectores de estado sólido. El espectro característico se produce al acumular los pulsos enviados por el detector en un analizador multicanal. En este espectro, las energías y las intensidades (número de cuentas) de las radiaciones observadas son características de la reacción nuclear que las produjo.

Por lo tanto, esta técnica permite realizar análisis cuantitativo.

tativos y cuantitativos sobre las muestras estudiadas. A pesar de su alto costo, el análisis por activación ofrece ventajas como una alta sensibilidad y buena exactitud.

## 6) ABSORCION ATOMICA

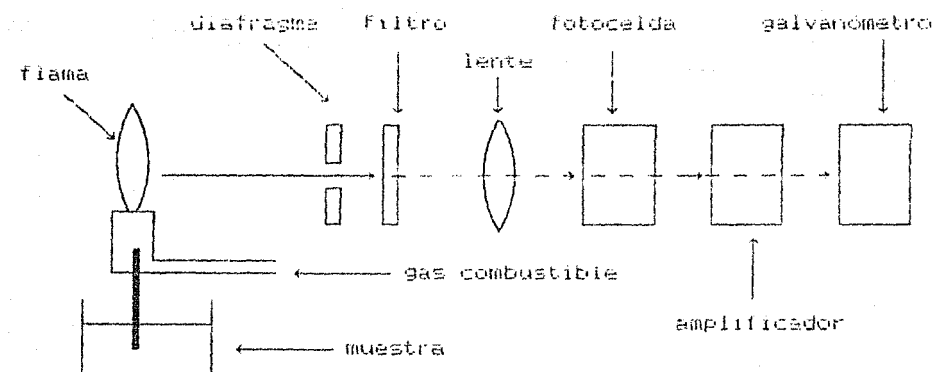
Otro método que permite realizar estudios sobre la composición de una muestra es la absorción atómica o fotometría de flamas (*flame photometry*). Esta técnica de análisis se basa en la medición directa de las radiaciones producidas por la muestra, después de que ésta ha sido calentada por una llama. La medición fotométrica depende de las concentraciones de los elementos presentes en la muestra. Por lo tanto, para el análisis cuantitativo es necesario encontrar la relación existente entre la concentración del elemento y la intensidad de la radiación producida por éste (9).

Cuando una muestra se calienta por medio de una llama, hay suficiente energía para excitar a la mayoría de los átomos que la constituyen. Estos se desexcitan emitiendo radiaciones de distintas longitudes de onda, que son características de los elementos que las producen. De esta manera, al detectar estas radiaciones, es posible identificar a los elementos de la muestra calentada.

Por otra parte, si análisis cuantitativo requiere la medición de la energía de las radiaciones. Así, la intensidad de las emisiones permite determinar la concentración de los elementos en la muestra.

El dispositivo experimental consiste principalmente de sistemas de emisión, de selección y de detección y medida de las radiaciones (Figura 9).

El elemento más importante del sistema de emisión es la llama. Esta se alimenta por un gas con alta temperatura de combustión. Los gases más utilizados son: acetileno, propano, butano e hidrógeno. Las temperaturas alcanzadas por la llama están comprendidas entre los 1700 y los 3200 °K.



\* Fig.9.- Dispositivo Experimental \*

Normalmente, la muestra se quema en la parte incolora de la llama. Las muestras estudiadas deben ser líquidas o presentarse en

solución acuosa (en la que los elementos de la muestra original están en estado iónico). Como resultado de la energía térmica de la llama, que causa la excitación de los átomos de los elementos en la solución, se produce la emisión de radiaciones características para cada elemento.

Generalmente, la solución contiene varios elementos, por lo que es necesario seleccionar las radiaciones emitidas por cada uno de ellos. Con este fin, se utilizan filtros o monodromadores, que separan las distintas líneas del espectro de emisión. Además, las radiaciones pueden ser concentradas con ayuda de diafragmas y lentes, antes de llegar al sistema de detección.

Después de separar las líneas de emisión de los distintos elementos en la muestra, la intensidad de las radiaciones debe ser cuantificada. Para esto, la radiación seleccionada debe incidir sobre un elemento foto-sensible, como una fotocelda o un tubo fotomultiplicador.

La energía de la radiación incidente es transformada por el elemento foto-sensible en un pulso eléctrico, el cual, a su vez, pasa a un amplificador. La intensidad de la radiación emitida, o lo que es lo mismo, la amplitud del pulso eléctrico, depende del volumen de solución colocado en la llama por unidad de tiempo y de la concentración, en la solución, de cada elemento analizado.

Debido a que la energía proporcionada por la llama es limitada, la absorción atómica no puede aplicarse a todos los elemen-

tos. Por otra parte, una muestra sólida tiene que ser necesariamente destruida para ser analizada.

Si se varían de manera adecuada las condiciones de excitación (gas combustible, temperatura de la llama, etc), el método se puede extender a un gran número de elementos metálicos. En este caso, la absorción atómica es lo suficientemente sensible para determinar cuantitativamente su presencia en soluciones muy diluidas.

## CAPITULO II

### SECCION EFICAZ DE IONIZACION

Como se dijo anteriormente, el método FIKE se basa en la medición de los rayos X característicos emitidos por los átomos de la muestra, después de que estos han sido ionizados. Un átomo se ioniza cuando se le crea una vacancia en alguna de sus capas electrónicas. Si la vacancia se encuentra en una capa interna, el átomo, si desexcitarse, emite un fotón cuya longitud de onda corresponde a los rayos X. Por tanto, en este capítulo, trataremos de estudiar las colisiones atómicas que conducen a la producción de vacancias en capas internas.

La creación de vacancias en capas internas es un mecanismo que puede visualizarse como una interacción coulombiana entre el ion incidente y el electrón ligado al átomo. La probabilidad de que este fenómeno ocurra nos la da la sección eficaz de ionización  $\sigma_i$ .

La sección eficaz de ionización se puede obtener por medio de tratamientos cuánticos o clásicos del problema. Uno de los mo-

de los cuanticos propuestos para explicar la creacion de vacancias es la aproximacion de onda plana de Born (FWBA). Este modelo considera que tanto la particula incidente, como la dispersada pueden ser descritas mediante ondas planas (10).

Tambien es posible explicar clasicamente el proceso de ionizacion de capas internas. La colision entre un proyectil y un atomo complejo puede verse como el encuentro binario entre el proyectil y un electron en una capa en particular. El resto del atomo blanco se considera simplemente como el medio pasivo en el que el electron se mueve. Este tipo de modelo se conoce como la aproximacion de encuentro binario (BEA) (11).

El hecho de utilizar una descripcion clasica para explicar el mecanismo que conduce a la ionizacion de capas internas es razonable. Considerese una interaccion coulombiana no relativista entre 2 partculas cargadas, una de las cuales se encuentra en reposo. En este caso, la seccin eficaz diferencial de dispersion que se obtiene es siempre la misma, sin importar si esta se calcula de manera clasica o cuantica usando la primera aproximacion de Born. Asi, la seccin diferencial de dispersion elastica estd dada por la fórmula de Rutherford:

$$\frac{d\sigma}{d\Omega} = \left[ \frac{Z_1 Z_2 e^2}{4 E_i \sin^2(\theta/2)} \right]^2 \quad (15)$$

donde  $Z_1$  y  $Z_2$  son los numeros atómicos del proyectil y del blanco,  $E_i = p v_i^2 / 2$  es la energa relativa del proyectil,  $p$  es la masa

reducida del sistema,  $e$  es la carga elemental y  $\theta$  es el ángulo de dispersión en el sistema del centro de masa.

Si la energía inicial del proyectil es  $E_1$ , se puede transferir una energía  $T$  al blanco de masa  $m_2$ :

$$T = 4 \mu E_1 \operatorname{sen}^2(\theta/2) / m_2 \quad (16)$$

En el caso de una colisión frontal ( $\theta = 180^\circ$ ), la energía transferida es máxima y entonces:

$$T = T_m \operatorname{sen}^2(90^\circ) \quad , \text{ con } T_m = 4 \mu E_1 / m_2 \quad (17)$$

Puesto que el electrón está ligado al atomo, para ionizarlo el proyectil debe transferirle una energía mayor o igual a la energía de ionización  $I$ . Entonces, para crear la vacancia, la energía transferida al electrón debe estar comprendida entre los valores  $I$  y  $T_m$ . De esta manera, la probabilidad de ionizar al atomo blanco se puede dar por una sección eficaz para transferir una energía entre  $I$  y  $T_m$ :

$$\sigma_I = \int_I^{T_m} \left[ \frac{d\sigma}{dT} \right] dT \quad (18)$$

Teniendo en cuenta que  $d\Omega / dT = 4 \pi / T_m^2$ , y sustituyendo la fórmula de Rutherford en (18), se obtiene la sección eficaz de ionización (12):

$$\sigma_I = \frac{4 \pi Z_1 e^2}{m_1 c^2} \left[ \frac{1}{I} - \frac{1}{I_m} \right] \quad (19)$$

Si se introducen 2 parámetros adimensionales  $\Theta$  y  $\eta$ , definidos como [10]:

$$\eta = \frac{v_1^2}{v_2^2} = \frac{40.32 E_1 (\text{MeV})}{Z_2^2 m_1 (\text{tuma})} \quad (20)$$

$$\Theta = \frac{1}{I_H} \quad (21)$$

donde  $v$  es la velocidad del proyectil y  $v_2$  es la velocidad media del electrón en la capa K,  $v_2 = Z_2 e^2 / h$ . I es  $I_H$  son las energías de ionización del atomo blanco y de un atomo hidrogenoide con el mismo número atómico  $Z_2$ , respectivamente.

Si suponemos que la masa del proyectil es mucho mayor que la del electrón, es decir, que  $I_m \approx 2 m_2 v_1^2$ , la sección eficaz de ionización queda:

$$\sigma_I = \frac{4 \pi a_2^2 Z_1^2}{\Theta^2 Z_2^2} \left( \frac{\Theta}{\eta} \right) \left[ 1 - \frac{\Theta}{4 \eta} \right] \quad (22)$$

donde  $a_2 = h^2 / m_2 Z_2 e^2$  es el radio de Bohr para la capa K.

De la ecuación (22) observamos que la sección eficaz de ionización es prácticamente independiente de la masa  $m_1$  del proyectil. Así, un parámetro que influye en el proceso de ionización es

la velocidad del proyectil y no su energía.

La sección reducida de ionización clásica está dada por:

$$\sigma_R^C = \frac{Z^2 e^2}{\frac{Z^2 e^2}{m_1 m_2} v_T} \sigma_I = 4 \pi \left( \frac{e}{m} \right) \left( 1 - \frac{e}{4m} \right) \quad (23)$$

La función  $\sigma_R^C$  solo depende de la variable  $e/m$ , Por lo que puede decirse que presenta un carácter universal, ya que  $\sigma_R^C$  es la misma para cualquier combinación proyectil-blanco.

A partir de la ecuación (23) encontramos que la sección eficaz de ionización se anula cuando  $4 \pi / e < 1$ . Esta condición corresponde aproximadamente a  $v_1 < v_p/2$  (12). Esto significaría que no es posible ionizar con proyectiles con velocidades  $v_1$  tales que  $v_1 < v_p/2$ . Sin embargo, de acuerdo a resultados experimentales, la ionización puede llevarse a cabo usando proyectiles con velocidades  $v_1$  del orden del 2 % de la velocidad media  $v_p$  del electrón atómico.

La discrepancia entre los resultados experimentales y el modelo propuesto se debe a que este se simplificó demasiado, al considerar que el electrón estaba en reposo. Sin embargo, en algunos casos, su velocidad es mucho mayor que la del proyectil.

Teniendo en cuenta lo anterior, consideremos una colisión frontal de un proyectil de masa  $m_1$  y velocidad  $v_1$  con un electrón ( $m_2$  y  $v_2$ ). A partir de la conservación de la energía y del momento

lineal, se encuentra que la máxima energía que el proyectil puede transferir al electrón es:

$$T_m = \frac{2 m_1 m_2}{(m_1 + m_2)^2} (v_1 + v_2) (m_1 v_1 - m_2 v_2) \quad (24)$$

Si suponemos que  $v_1 \gg v_2$  y que la masa del proyectil es mucho mayor que la del electrón,  $m_1 v_1 \gg m_2 v_2$ , entonces:

$$T_m \approx 2 m_2 v_2 v_1 \quad (25)$$

Por tanto, notamos que es posible lograr grandes transferencias de energía entre partículas masivas de baja velocidad y electrones, con la condición de que estos tengan alta velocidad. Para que haya ionización, la velocidad  $v_1$  del proyectil debe cumplir:

$$v_1 \geq I / 2 m_2 v_2 \quad (26)$$

donde  $I$  es la energía de ionización del electrón.

Siguiendo un esquema análogo al que se uso en el caso del electrón en reposo, se ha desarrollado la aproximación clásica de encuentro binario, tomando en cuenta el movimiento del electrón en el átomo-blanco. Como ya se dijo, este modelo supone que el principal mecanismo que conduce a la ionización es el intercambio directo de energía entre el proyectil y el electrón ligado. Utilizando la sección eficaz para dispersión coulombiana, se puede obtener una sección diferencial  $d\sigma/dE$  para un intercambio de ener-

gia  $\Delta E$  entre el ion incidente y el electron.

La sección eficaz, en el sistema de referencia del laboratorio, para una transferencia de energía  $\Delta E$ , entre el proyectil incidente con velocidad  $\vec{v}_1$  y el electron con velocidad  $\vec{v}_2$ , promediada sobre una distribución esfericamente simétrica de direcciones para  $\vec{v}_2$ , está dada por [10]:

$$\int \frac{\Delta E}{d\Delta E} \frac{d\sigma}{d\Delta E} = \frac{\pi Z_1^2 e^4}{3 v_1^2 v_2} \left[ - \frac{Z_1 v_2^3}{(\Delta E)^2} + \frac{e v_2 / m_2}{\Delta E} \right] \quad \text{para } 0 < \Delta E < b \quad (27)$$

$$\int \frac{\Delta E}{d\Delta E} \frac{d\sigma}{d\Delta E} = \frac{\pi Z_1^2 e^4}{3 v_1^2 v_2} \left[ - \frac{\left( \frac{v_1}{m_1} + \frac{v_2}{m_2} \right)}{\Delta E} + \frac{(v_2^3 - v_1^3) - (v_1^3 + v_2^3)}{(\Delta E)^2} \right] \quad \text{para } b < \Delta E < a \quad (28)$$

$$\int \frac{\Delta E}{d\Delta E} \frac{d\sigma}{d\Delta E} = \frac{\pi Z_1^2 e^4}{3 v_1^2 v_2} \left[ - \frac{Z_1 v_1^3}{(\Delta E)^2} \right] \quad \text{para } \Delta E \geq a \quad y \quad 2 m_2 v_2 < (m_1 + m_2) v_1 \quad (29)$$

$$\int \frac{\Delta E}{d\Delta E} \frac{d\sigma}{d\Delta E} = 0 \quad \text{para } \Delta E \geq a \quad y \quad 2 m_2 v_2 > (m_1 + m_2) v_1 \quad (30)$$

dónde:

$$v_1' = (v_1^2 + 2 \Delta E / m_1)^{1/2}$$

$$v_2' = (v_2^2 + 2 \Delta E / m_2)^{1/2}$$

$$a = \frac{4 m_1 m_2}{(m_1 + m_2)^2} \left[ E_1 - E_2 + \frac{1}{Z} v_1 v_2 (m_1 - m_2) \right]$$

$$b = \frac{4 m_1 m_2}{(m_1 + m_2)^2} \left( E_1 - E_2 - \frac{1}{Z} v_1 v_2 (m_1 - m_2) \right)$$

La sección eficaz para expulsar un electrón cuya energía de ionización es  $I$ , está dada por las ecuaciones (27), (28), (29) y (30), para un intercambio de energía entre  $I$  y  $T_m$ :

$$\sigma_i = \int_I^{T_m} \frac{d\sigma}{dE} dE \quad (31)$$

Al promediar sobre la distribución de velocidades  $f(v_2)$  de los electrones e integrando sobre todos los electrones en la subcapa, finalmente se obtiene la expresión clásica para la sección eficaz de ionización:

$$\sigma_i(v_1) = N_e \int_0^{\infty} \sigma_i(v_1, v_2) f(v_2) dv_2 \quad (32)$$

donde  $N_e$  es el número de electrones equivalentes con energía de amarre  $I$ .

A partir de las ecuaciones (27), (28), (29) y (30) se observa que el modelo de encuentro binario clásico tiene la ventaja de presentar una ley de escalamiento. Esto significa que si conocemos la sección eficaz  $\sigma(u_1, E)$  para la dispersión de un electrón con energía de amarre  $u_1$ , causado por un proton con energía  $E_1$ , en

tonces la sección eficaz para la dispersión de un electrón cuya energía de amarre es  $u_a$ , es ésta dada por:

$$\sigma(u_b, E_1^*) = (u_a^{-2}/u_b^{-2}) \cdot \sigma(u_a, E_1) \quad (33)$$

donde  $E_1^* = (u_b/u_a) \cdot E_1$ .

Al considerar una distribución de velocidades para un átomo hidrogenoide, la ley de escalamiento que se obtiene es:

$$u^2 \sigma_t = F(E_1/\lambda u) \quad (34)$$

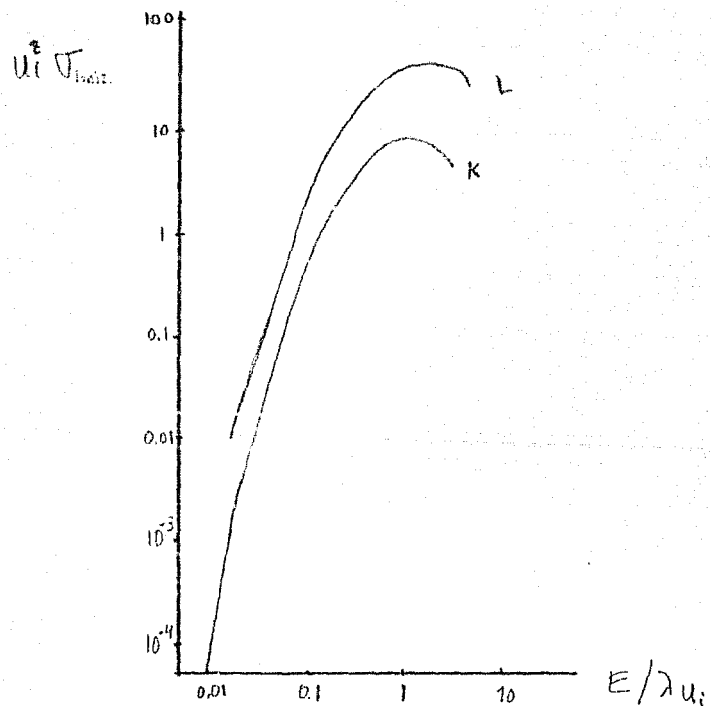
donde  $\lambda = m_1/m_2$  es el cociente entre la masa del protón y la del electrón,  $u$  es la energía de amarre del electrón y  $E_1$  es la energía del protón.

La expresión anterior nos indica que el producto del cuadrado de la energía de amarre  $u$  y la sección eficaz de ionización  $\sigma_t$ , es una función universal de la energía  $E_1$  del protón incidente, si ésta se expresa en unidades de la energía de amarre. De esta manera, si graficamos  $u^2 \sigma_t$  vs  $E_1/\lambda u$ , obtendremos la misma gráfica para cualquier atomo-blanco (Figura 1).

En la figura 1, los puntos representan valores experimentales de secciones eficaces de ionización para bombardeo con fotones. Para ajustar estos puntos experimentales, en este caso se ha propuesto un polinomio de quinto grado. Las curvas son (1):

$$\log \left( \frac{\sigma u_i^2}{\sigma_0} \right) = \sum_{n=0}^N b_n \frac{E^n}{u_i^n} \quad \text{con} \quad N = \log \left( E / E_0 u_i \right) ,$$

donde los coeficientes  $b_n$  son constantes (Tabla I),  $u_i$  es la energía de ionización para la capa  $i$  ( $i = K \text{ o } L$ ) en eV,  $E$  es la energía del protón incidente en eV y  $\sigma$  es la sección eficaz de ionización, con unidades  $10^{-14} \text{ cm}^2$ .



\* Figura 1.- Secciones Eficaces de Ionización \*

En este trabajo tesis, para calcular el número de rayos  $N$  producidos por la lima de endodoncia, las secciones eficaces de

ionización se evaluarán mediante el polinomio de quinto grado anterior (1). En el capítulo III se explicará cómo se lleva a cabo la cuantificación del número de rayos X emitidos por la lima.

	Rayos X E.	Rayos X L
$b_0$	2.0471	3.6082
$b_1$	-0.6065906	0.37120
$b_2$	-0.47448	-0.36971
$b_3$	0.197170	$-0.73973 \cdot 10^{-4}$
$b_4$	0.046062	$0.25063 \cdot 10^{-2}$
$b_5$	0.0060038	$0.12612 \cdot 10^{-2}$

\* Tabla I.- Coeficientes  $b_n$ .

## CAPITULO III

Hasta ahora, el método PIXE se ha estudiado únicamente desde un punto de vista cualitativo. A partir de los espectros de rayos X característicos emitidos por una muestra, después de que ésta ha sido bombardeada por un haz de protones, es posible identificar a los elementos que la constituyen. En este capítulo se explica cómo cuantificar el número de rayos X emitidos por un elemento, con el fin de determinar su abundancia en la muestra.

Anteriormente se mencionó que una de las ventajas del método PIXE es que permite identificar simultáneamente un gran número de elementos. Un solo espectro da la posibilidad de reconocer a casi todos los elementos con número atómico  $Z > 12$ , presentes en una muestra. El espectro de rayos X característicos presenta una serie de picos que corresponden a transiciones electromagnéticas de los átomos de los elementos que los producen. Estas transiciones son características para cada elemento, por lo que es posible determinar su presencia en una muestra.

El análisis cuantitativo de la composición de una muestra se hace a partir del número total de rayos X producidos por cada elemento. Esto significa que el número de cuentas bajo un pico determinado es una medida de la concentración del correspondiente elemento en la muestra.

## A) RADIACIÓN PRIMARIA

Siguiendo básicamente un esquema ya estudiado [14] se tratará de cuantificar el número total de rayos X, tanto primarios como secundarios, producidos por cada uno de los elementos presentes en la muestra, al ser esta bombardeada por un haz de protones. Supongamos que la muestra compuesta es homogénea y tiene una densidad volumétrica  $\rho$ . La muestra está constituida por elementos con número atómico  $Z_i$ , masa atómica  $A_i$  y que representan una concentración o fracción  $C_i$  de la masa total de la muestra. El número  $N$  de átomos del elemento  $i$  por  $\text{cm}^3$  está dado por:  $N = N_A C_i \rho / A_i$ , donde  $N_A = 6.022 \cdot 10^{23}$  es el número de Avogadro.

Supóngase que el haz de protones monoenergéticos con energía  $E_0$  incide sobre la muestra formando un ángulo  $\theta_1$  con la normal a la superficie. La creación de vacancias internas y la posterior emisión de rayos X característicos son procesos que tienen un carácter probabilístico. Como se explicó en el capítulo II, la sección eficaz de ionización está directamente relacionada con la probabilidad de que un protón incidente ionice algún átomo de la muestra, al crearle una vacancia.

Además, la sección eficaz de ionización de capas K del elemento  $i$ ,  $\sigma_i = \sigma_{K,i}(E)$ , depende de la energía del proyectil (II). Por lo tanto, deberá tomarse en cuenta el hecho de que la energía del proyectil no es constante durante su recorrido dentro de la mue-

tra. La perdida de energía que sufre el proton al atravesar la muestra antes de la colisión está dada por el poder de frenamiento electrónico de la muestra:  $s(E) = (dv/dx)|_E$ .  $s(E)$  describe la perdida de energía por unidad de distancia recorrida por el proyectil [15].

Una vez que el atomo ha sido ionizado, la vacancia puede ser ocupada por un electrón de alguna capa más externa y en esta transición se libera el exceso de energía mediante la emisión de un foton de rayos X característico. Sin embargo, como se explicó en el capítulo I, también es posible que esta energía se libere emitiendo un electrón Auger.

Debido a la existencia de estos 2 mecanismos que compiten para desexcitar al atomo, se introdujo la fluorescencia  $\alpha_i$ , que nos da la probabilidad de que la desexcitación se efectúe mediante la emisión de un foton de rayos X. Así, se define la fluorescencia  $\alpha_{K_i}$  de rayos X K para el elemento i, como el cociente entre el número de fotones de rayos X de la serie K (transiciones a la capa K), emitidos por el elemento i en la unidad de tiempo y el número de vacancias formadas en la capa K durante el mismo tiempo. Lo que significa que la fluorescencia  $\alpha_{K_i}$  nos da la fracción de las vacancias de la capa K que son llenadas por electrones de capas más externas, con la subsecuente emisión de rayos X K característicos [16].

Por otra parte, la probabilidad de que los rayos X emitidos por el elemento i en la serie K correspondan a la línea  $K_{\alpha_i}$  nos la

dado el numero  $F_{K_{\alpha}}$ , es decir,  $F_{K_{\alpha}}$  es la fraccion de los rayos X K que son emitidos como linea  $K_{\alpha}$  por el elemento i (17).

Cuantificando, el numero  $\Delta n_{K_{\alpha}}$  de rayos  $X K_{\alpha}$  primarios generados, en un intervalo de espesor  $\Delta l$ , por el elemento i en la muestra, por proton incidente, est:

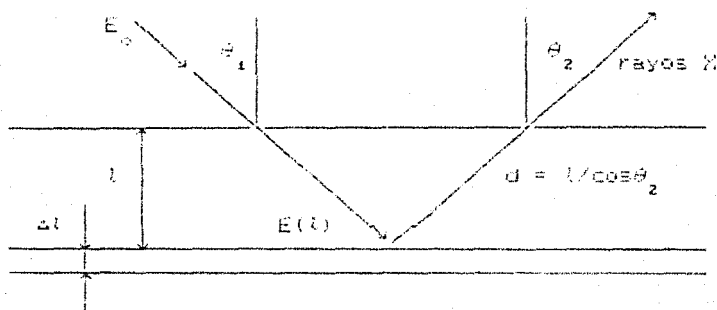
$$\Delta n_{K_{\alpha}} = N_p \rho (Z_p / A_p) \eta_{p,i} F_{K_{\alpha}} \sigma_{K_{\alpha}}(E) \Delta l \quad (35)$$

En su camino hacia el detector, no todos los rayos  $X K_{\alpha}$  producidos por la muestra logran llegar a él. Los rayos X son absorbidos por los propios elementos de la muestra y se dice que han sido atenuados. Esta atenuacion esta descrita por el coeficiente de absorcion de masa  $\mu_i$  del elemento absorbedor i, para los rayos  $X K_{\alpha}$  emitidos por el elemento i. Asi, un determinado elemento, absorbe de manera diferente los rayos X provenientes de distintos elementos (18).

Al ser atenuados durante su recorrido por la muestra, solo una fraccion de los rayos  $X K_{\alpha}$  producidos por el elemento i serán transmitidos en la direccion  $\theta_2$ , hacia el detector (Figura 10). Esta fraccion  $T_i$  esta dada por la relacion  $T_i = \exp(-\mu_i d)$ , donde  $d = l / \cos\theta_2$  es la distancia recorrida por los rayos X antes de salir de la muestra y  $\mu_i$  es el coeficiente de atenuacion de la muestra para los rayos  $X K_{\alpha}$  del elemento i. Para encontrar  $\mu_i$  se usa la ley de Bragg (41):

$$\mu_i = \sum_j C_{ij} \mu_{i,j} \quad , \quad (36)$$

donde  $C_i$  es la concentración del elemento  $i$  en la muestra.



\* Fig.10.- Producción de rayos X primarios \*

La eficiencia de un detector es la probabilidad de que pueda registrar una radiación que le llegue. Casi todos los detectores, después de contar un evento, pierden su sensibilidad por un intervalo de tiempo conocido como tiempo muerto. Este período limita el número de eventos que por unidad de tiempo puede contar un detector. Para que la eficiencia  $\epsilon$  de un detector sea alta, el número de cuentas (radiaciones registradas) por unidad de tiempo debe ser muy grande comparado con el recíproco del tiempo muerto [19].

Finalmente, el número total de rayos X  $E_{\alpha}$  primarios, producidos por el elemento  $i$  en la muestra, que emergen por esteradian, por proton incidente y que son detectados, está dado por:

$$N_x = \frac{\pi \rho N_i C_i}{4 \pi A_i} n_{p,i} F_{\text{dep}} \int_0^r \sigma(E(l)) \exp[-\mu_i(l/\cos \theta_2)] dl \quad (37)$$

donde  $r$  representa el alcance del proton en la muestra, o sea, la

profundidad a la cual es completamente frenado.

Además de las unidades de longitud, existen otras unidades para medir la profundidad o el espesor atravesado por el proyectil en la muestra. Si la profundidad  $t$  se mide en cm, la densidad en  $\text{mg/cm}^3$  y se hace  $x = \rho t$ , entonces  $x$  mide el espesor atravesado y tiene como unidades:  $\text{mg/cm}^2$ . Por lo tanto:

$$N_{K_\alpha} = \frac{\epsilon N_0 C_{K_\alpha}}{4 \pi R_p} \omega_{K_\alpha} P_{K_\alpha} \int_0^t \sigma(E(x)) \exp(-\mu_p x / \cos \theta) dx \quad (38)$$

## B) RADIACION SECUNDARIA

Hasta ahora, la relación encontrada considera únicamente el total de rayos  $K K_\alpha$  primarios producidos por los átomos de la muestra, al incidir sobre ella el haz de protones. Como se trata de una muestra compuesta, también habrá fluorescencia o producción de rayos  $K$  secundarios, provocada por la ionización debida a los propios rayos  $K$  primarios. En general, el número total de rayos  $K$  característicos consiste principalmente de la radiación primaria, pero a menudo, la contribución de la fluorescencia es de tal magnitud que es necesario tomarla en cuenta.

La fluorescencia secundaria ocurre cuando un fotón de rayos X primarios tiene la suficiente energía para ionizar un átomo, al crearle una vacancia en una capa interna. Posteriormente, un electrón de capas más externas pasa a llenarla y se emite un fotón de rayos X secundarios característicos. Así, el número de rayos X  $K_{\alpha}$  producidos por un elemento  $i$  puede ser intensificado por la fluorescencia causada por los rayos X primarios emitidos por otro elemento  $j$  en la muestra.

Como ya se dijo, los rayos X emitidos por un elemento en particular son absorbidos de manera distinta por cada uno de los otros elementos que constituyen la muestra. Esto lo pone de manifiesto el correspondiente coeficiente de atenuación  $\mu_{i,j}$  del elemento absorbedor  $j$  para los rayos X  $K_{\alpha}$  producidos por el elemento  $i$ . Esta absorción es especialmente favorecida cuando la energía de los rayos X primarios de  $i$  es ligeramente superior a la energía crítica en la orilla de absorción (o alguna capa electrónica del elemento  $j$  (absorption edge energy)).

De esta manera, el efecto de la fluorescencia secundaria es aumentar el número total de cuentas de rayos X  $K_{\alpha}$  característicos del elemento intensificado  $i$ . Además, la fluorescencia es más importante cuando la concentración en la muestra y la sección eficaz de producción de rayos X  $K_{\alpha}$  del elemento excitador  $i$  aumentan.

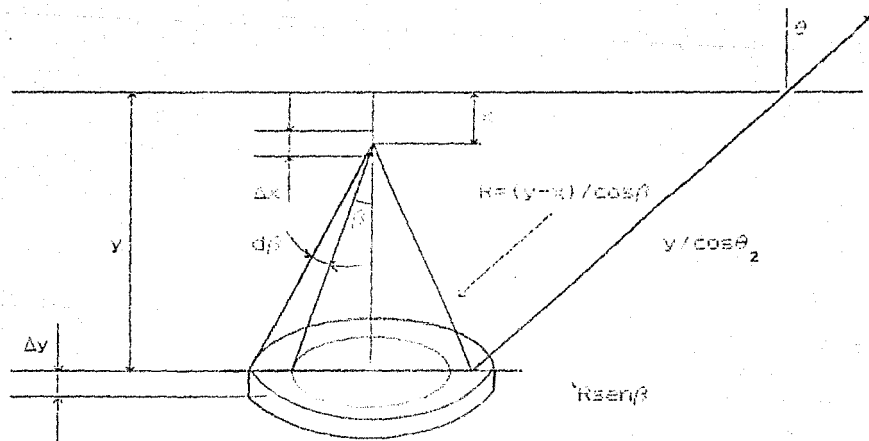
El número de rayos X  $K_{\alpha}$  primarios emitidos por el elemento excitador  $i$ , en un intervalo de espesor  $dx$ , a una profundidad  $x$  en la muestra, por proton incidente es:

$$\Delta n_{\text{Ray}} = \rho_{\text{m}} \cdot \rho_{\text{Ray}} (\Sigma (\lambda)) \Delta V \quad (39)$$

$$\text{donde } \rho_{\text{m}} = N_{\text{e}} (Z / A) \rho_{\text{Ray}} P_{\text{Ray}}$$

Considerese una fuente puntual de radiación excitadora debida al elemento  $i$  (Figura 11). Además, los rayos X  $K_{\alpha}$  primarios son emitidos isotrópicamente (20). Se tiene que el área  $S$  del anillo de radio  $R \sin \beta$  es proporcional al número de rayos X  $K_{\alpha}$  que llegan al área  $S$ . Entonces,  $\beta = 2\pi R^2 \sin(\Delta\theta)$  y como el ángulo sólido total es  $4\pi R^2$ , se tiene que la fracción de los  $\Delta n_{\text{Ray}}$  que queda comprendida entre los 2 conos que forman ángulos  $\beta$  y  $\beta + \Delta\theta$ , respecto a la normal a la muestra, es:

$$2\pi R^2 \sin^2 \Delta\theta / 4\pi R^2 = \sin(\beta + \Delta\theta) / 2$$



\* Fig.11.- Producción de rayos X Secundarios \*

Puesto que los rayos X primarios son atenuados al atravesar

la muestra, solo una fracción de ésta llega a una profundidad  $y$ . Esta fracción está dada por la transmisión:  $T_i = \exp(-\mu_i R)$ , donde  $R = (y-x)/\cos\beta$  es la distancia recorrida por los rayos X primarios excitadores desde la profundidad inicial  $x$  hasta la final  $y$ .

De los rayos X excitadores del elemento  $i$  que llegan a una profundidad  $y$ , la fracción  $1 - \exp(-\mu_i g_{i,y}/\cos\beta)$  es absorbida en el intervalo  $\Delta y$ . Como  $\mu_i = \sum C_j \mu_{i,j}$ , el elemento intensificado  $j$  absorbe una fracción  $C_j g_{i,j} / \mu_i$  de los rayos X que llegan al intervalo  $\Delta y$ .

De éstos, una fracción  $(r_j - 1) / r_j$  es la que provoca la ionización de la capa electrónica  $K$  de  $j$ , donde  $r_j$  es el cociente de salto en la orilla de absorción (*absorption edge jump ratio*).  $r_j$  es el cociente entre los coeficientes de absorción del elemento absorbido  $j$  para los rayos X  $K_{\alpha}$  excitadores de  $i$ , inmediatamente antes y después de la orilla de absorción. Cuando rayos X K primarios provocan la emisión de rayos X K secundarios del elemento intensificado, es decir, cuando se trata de fluorescencia  $K \rightarrow K$  se tiene:  $(r_j - 1) / r_j = 0.88$ . (21).

Posteriormente, el elemento intensificado  $j$  produce la fracción  $\alpha_{K_{\alpha},j} F_{K_{\alpha},j}$  de rayos X  $K_{\alpha}$  secundarios. Por lo tanto, el número total de rayos X  $K_{\alpha}$  secundarios  $\Delta n_{K_{\alpha},i,y}$  producidos por  $j$  en el intervalo  $\Delta y/\cos\beta$ , a una profundidad  $y$ , debidos a los rayos X  $K_{\alpha}$  primarios  $\Delta n_{K_{\alpha},i,x}$  del elemento  $i$  (a una profundidad  $x$ ), por proton incidente, está dado por:

$$\Delta n_{K\alpha,j}^* = \Delta n_{K\alpha,j} \cdot (\operatorname{sen}\beta \Delta(\theta/2)) \cdot (C_j \cdot \mu_{j,j} \cdot \sigma_{K\alpha,j} \cdot (r_j - 1) / r_j \cdot \omega_{K\alpha,j} \cdot P_{K\alpha,j}) \\ \cdot \exp(-\mu_j(y-x) / \cos\beta) \cdot [1 + \exp(-\mu_j \Delta y / \cos\beta)] \quad (40)$$

Sea  $H = C_j \cdot \mu_{j,j} \cdot \omega_{K\alpha,j} \cdot P_{K\alpha,j} \cdot ((r_j - 1) / r_j) / 2 \pi$ , entonces:

$$\Delta n_{K\alpha,j}^* = \theta_j H_j \cdot (1/\mu_j) \cdot \sigma_{K\alpha,j}(E(x)) \cdot \exp(-\mu_j(y-x) / \cos\beta) \cdot \\ \cdot [1 + \exp(-\mu_j \Delta y / \cos\beta)] \cdot \operatorname{sen}\beta \Delta\beta \Delta x \quad (41)$$

Como para valores pequeños de  $\Delta y$ :

$$1 - \exp(-\mu_j \Delta y / \cos\beta) \approx \mu_j \Delta y / \cos\beta \quad (42)$$

$$\Delta n_{K\alpha,j}^* = \theta_j H_j \cdot \sigma_{K\alpha,j}(E(x)) \cdot \exp(-\mu_j(y-x) / \cos\beta) \tan\beta \Delta\beta \Delta x \quad (42)$$

Si se introduce la integral exponencial (22):

$$E_1(t) = \int_1^\infty [\exp(-zt) / z] dz \quad (43)$$

donde:  $z = 1/\cos\beta$  y  $t = \mu_j(y-x)$ , se tiene:

$$\Delta n_{K\alpha,j}^* = \theta_j H_j \cdot \sigma_{K\alpha,j}(E(x)) \cdot E_1(t) \Delta x \Delta y \quad (44)$$

La fracción de los rayos X secundarios que llegan al detector está dada por la transmisión  $T_j = \exp(-\mu_j y / \cos\theta_2)$ . De esta forma, al integrar sobre las  $dx$  y las  $dy$ , se obtiene el número total  $N_j$  de rayos X  $K_\alpha$  secundarios, emitidos por el elemento intensificado  $j$ , que emergen por esteradián en la dirección del detector, debidos a los rayos X  $K_\alpha$  primarios del elemento excitador  $j$ .

$$N_{\alpha} = \frac{e}{4\pi} \theta_0 R_0 \int_0^{\infty} \int_0^{\pi/2} \sigma_{K\alpha}(E(t)) E_1(t) \exp[-\mu_1 y / \cos \theta_2] dx dy \quad (45)$$

Las fórmulas (38) y (45) nos permiten calcular el total de rayos X  $K_{\alpha}$  (primarios y secundarios) emitidos por cada uno de los elementos con una concentración determinada  $C_i$  en la muestra. Por otra parte, a partir de los espectros de rayos X obtenidos en el multicanal, es posible obtener el número de cuentas (número de rayos X) bajo un pico en particular. De esta manera, para determinar la composición de la muestra, necesitamos encontrar las concentraciones  $C_i$  tales que al evaluar las integrales, las fórmulas anteriores nos den el mismo número total de rayos X obtenido experimentalmente a partir del espectro.

### C) INTEGRACION NUMERICA

Las integrales que aparecen en las relaciones para calcular el total de rayos X  $K_{\alpha}$ , tanto primarios como secundarios, deben ser evaluadas numéricamente, ya que, como ya se dijo, la energía del proyectil no es la misma a lo largo de su recorrido a través

de la muestra. Por tanto, la integración numérica se lleva a cabo suponiendo que la energía es constante durante pequeños intervalos  $dx$  del recorrido. A continuación se explica el programa de computadora utilizado para calcular el número de cuentas de rayos  $N$  emitidos por la muestra [23].

Consideremos un haz de protones monoenergéticos que incide sobre una muestra formando un ángulo  $\theta_1$  respecto a la normal a la superficie. Los protones se van frenando a medida que atraviesan el material y, por lo mismo, pierden energía. A una profundidad  $x$ , la energía del protón, que incide con energía inicial  $E_0$ , se puede encontrar según la relación:

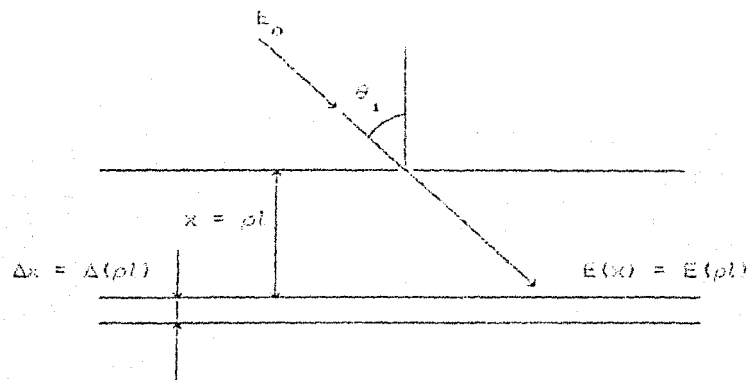
$$E(x) = E_0 - \frac{1}{\cos \theta_1} \int_0^x S(E) dx , \quad (46)$$

donde  $S(E) \equiv (dE/dx)_e$  es el poder de frenamiento electrónico de la muestra (Figura 12).

El poder de frenamiento depende del material atravesado y de la energía del proyectil incidente. El poder de frenamiento para una muestra compuesta se puede representar según la ley de Bragg [4]:

$$S(E) = \sum_i C_i S_i(E) , \quad (47)$$

Lo que significa que  $S(E)$  es igual al promedio ponderado de los poderes de frenamiento  $S_i(E)$  de todos los elementos constituyentes con concentración  $C_i$  en la muestra compuesta.



\* Fig.12.- Penetración del proyectil en la muestra \*

La penetración de partículas cargadas a través de la materia y la subsecuente pérdida de energía involucra varios mecanismos, tales como ionización, excitación, desplazamientos de los átomos etc., debidos a colisiones del proyectil con los átomos de la muestra. En el proceso de pérdida de energía, la importancia de estos mecanismos varía de acuerdo a la probabilidad que tiene cada uno de ellos de ocurrir. Esta probabilidad depende de la energía del proyectil en el material. Por tanto, hay que reconocer el carácter probabilístico del poder de frenamiento  $S(E)$ .

Hasta el momento, no ha sido posible encontrar una función para el frenamiento electrónico a partir de primeros principios y que sea válida para cualquier velocidad del proyectil y para toda combinación proyectil-blanco. Sin embargo, se ha derivado una ecuación para  $S(E)$  basándose en un análisis semi-fenomenológico de los distintos mecanismos involucrados en el proceso de frenamiento [13]. Esta ecuación será la que se utilice en este trabajo.

La función propuesta para el poder de frenamiento para protones está dada por:

$$S(E) = \frac{K u}{\exp(u)} + \frac{a \log(1/bu^2)}{u^2} - \frac{c}{1-bu^2} + \frac{f u^4}{(1+bu^2)^3} - \frac{\beta(bu^2)^{3/2}}{6b^2(1+bu^2)^4} \quad (48)$$

En la fórmula anterior  $K$ ,  $\beta$ ,  $a$ ,  $b$ ,  $c$ ,  $d$ ,  $e$ ,  $f$ ,  $g$  son constantes para cada uno de los elementos presentes en la muestra y están dadas por:

$$\beta = a / 9.5616 Z \quad (49)$$

$$b = 4 I_H \langle I \rangle \quad (50)$$

$$c = a b \quad (51)$$

$$d = \frac{K}{c} + \frac{b}{Z} + \frac{Z^3}{9Z} \quad (52)$$

$$e = \frac{3 d b^2}{b d^2 Z^{1/4} + b^2 + d^2} \quad (53)$$

$$f = c e^3 / d \quad (54)$$

$$g = Z \beta / 3 c \quad (55)$$

Donde  $\beta$  es una cantidad tal que si las unidades de  $a$  son:

$[a] = 10^{-15} \text{ eV cm}^2/\text{átomo}$ , entonces  $\beta = 1$ ,  $a = 9.5616$  y  $g = 2/3c$ .

Además,  $u = V/V_0$ , donde  $V$  es la velocidad del proyectil y  $V_0$  es la velocidad de Bohr (es la velocidad de un electrón en un átomo hidrogenoide).

$Z^*$  es el número de electrones externos en el átomo blanco con número atómico  $Z$ .

$I_H = 13.695 \text{ eV}$  es la energía de ionización del átomo de hidrógeno  $\langle I \rangle$  es la energía promedio de ionización del átomo blanco.

Por lo tanto, para encontrar el poder de frenamiento  $S(E)$  de la muestra, las cantidades importantes que deben conocerse con buena precision son  $K$ ,  $\langle I \rangle$  y  $Z^2$ , para cada elemento (10).

Así, si la energia inicial del proyectil es  $E_0$ , se puede calcular el poder de frenamiento  $S(E_0)$  y luego calcular la energia del proyectil después de que este ha recorrido un intervalo de espesor  $\Delta x$ , proponiendo  $E_1 = E_0 - [S(E_0) \Delta x / \cos\theta_1]$ . Con esta energia se calcula  $S(E_1)$  y despues de recorrer otro intervalo  $\Delta x$ , la energia sera:  $E_2 = E_1 - [S(E_1) \Delta x / \cos\theta_1]$ .

Procediendo sucesivamente de la misma forma, es posible encontrar la energia del proyectil a una profundidad determinada y el correspondiente poder de frenamiento, aplicando la siguiente formula de iteracion:

$$E_n = E_{n-1} - [S(E_{n-1}) \Delta x / \cos\theta_1] \quad (56)$$

donda  $n \geq 1$  es el numero de intervalos de espesor  $\Delta x$  considerados, los cuales nos van dando la profundidad de proyectil en la muestra.

Como se dijo anteriormente, la sección eficaz de ionizacion nos da la probabilidad de que el proyectil ionice Atomas de la muestra. Esta sección depende del Átomo blanco y tambien es función de la energia del proyectil. Por lo mismo, deberá evaluarse en pequeños intervalos  $\Delta x$  en los que se considerara que la energia es constante.

Para calcular la sección eficaz de ionización de capas K del elemento i en la muestra,  $\sigma = \sigma_{k,i}(E)$ , se utilizará una fórmula semi-empírica (ii). Se trata de un polinomio de quinto grado tal que :

$$\log(\sigma u_k^2) = \sum_{n=0}^5 b_n x^n \quad \text{y} \quad X = \log(E / \lambda u_k) \quad (57)$$

donde  $E$  es la energía del proton a la profundidad  $x$ ,

$u_k$  es la energía de ionización de la capa K del elemento,

$\lambda = 1836 = \text{masa del protón} / \text{masa del electrón}$ .

Los coeficientes  $b_n$  son constantes cuyos valores se dieron en la Tabla I del capítulo II.

Si  $E$  y  $u_k$  se miden en KeV y  $\sigma$  en  $\text{cm}^2$ , entonces la sección eficaz de ionización será:

$$\sigma_{k,i} = \frac{\exp\left(\sum_{n=0}^5 b_n X^n\right)}{10^{20} u_k^2} \quad (58)$$

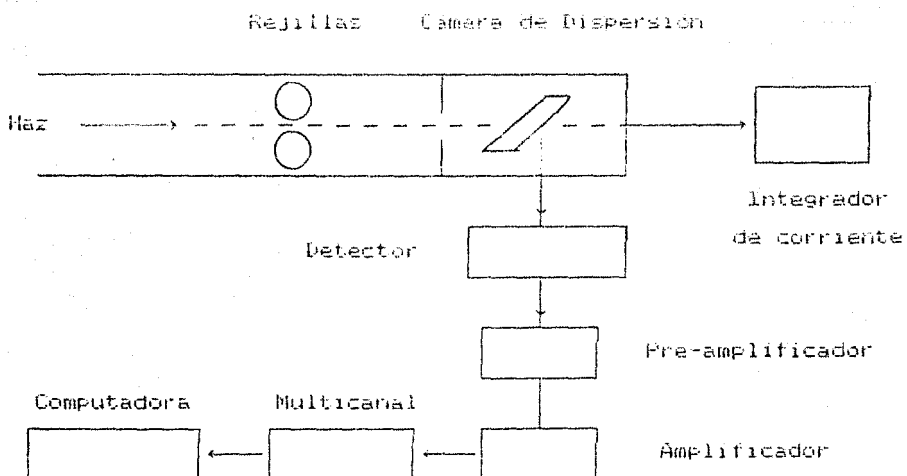
Como  $X = X(E) = \log(E / \lambda u_k)$ , la energía se evalúa de acuerdo a la fórmula de iteración (56), propuesta anteriormente. De esta manera se puede obtener la sección eficaz de ionización de capas K de los elementos de la muestra, la cual depende de la energía del proyectil a la profundidad dada.

## CAPITULO IV

### 10 DISPOSITIVO EXPERIMENTAL

El estudio de la composición de las lamas para endodoncia por medio del método PIXE requiere la utilización de una serie de aparatos y dispositivos asociados entre sí. Primero, se debe producir un haz monobenergetico de protones para hacerlo incidir sobre la muestra y, posteriormente, analizar los rayos X emitidos por los átomos que la constituyen.

Esquemáticamente, el experimento se lleva a cabo según el siguiente diagrama:



\* Fig.13.- Dispositivo Experimental \*

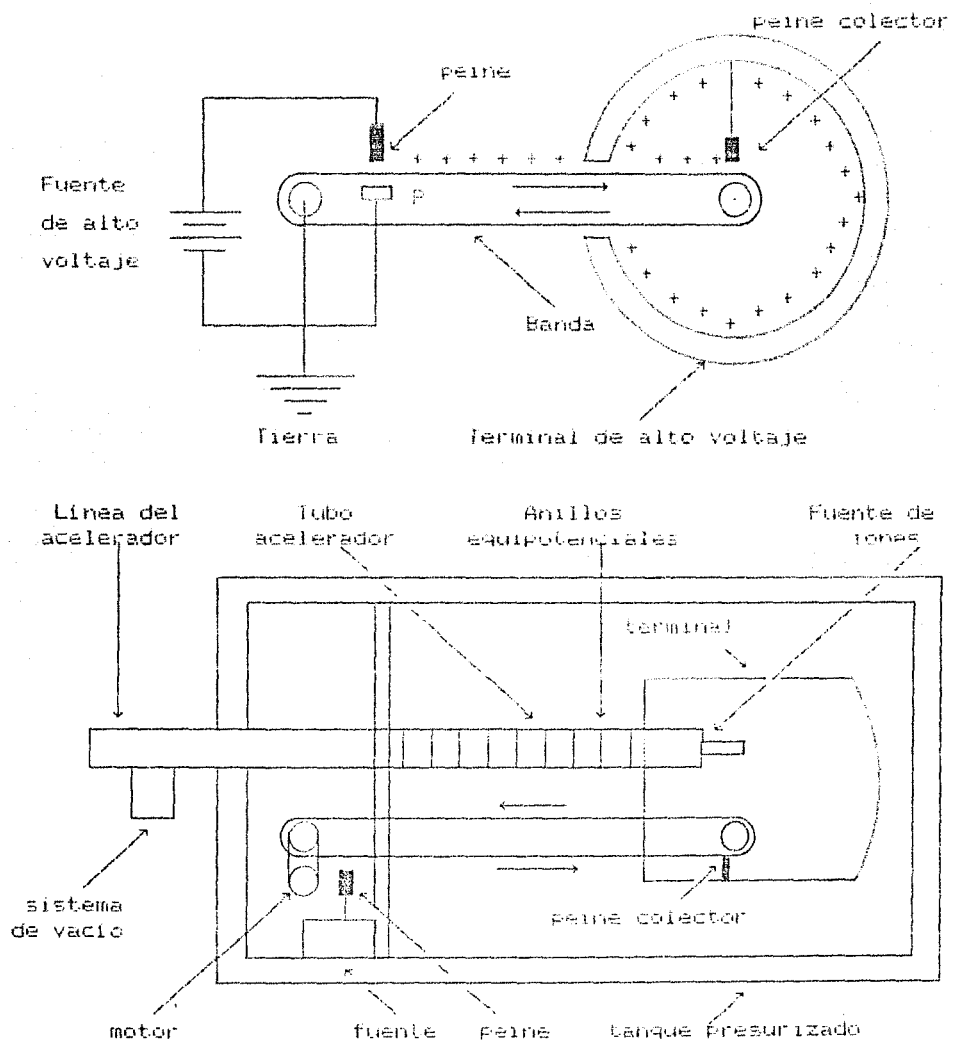
El haz de protones se obtiene mediante el acelerador Van de Graaff para iones positivos del Instituto de Física de la U.N.A.M. Dicho acelerador, modelo ANS-700, construido por la High Voltage Engineering Corp., permite obtener energías comprendidas entre 100 y 700 KeV.

El Van de Graaff está incluido entre los aceleradores electrostáticos, que son los de funcionamiento más sencillo. Consiste, esencialmente de un tubo acelerador con 2 electrodos; uno a cada extremo. Un electrodo está conectado a tierra, mientras que el otro es una terminal mantenida a un alto voltaje, dentro de la cual se encuentra la fuente de iones.

El voltaje acelerador se produce empleando una banda aislante que transporta cargas eléctricas y las deposita en el interior de la terminal de alto voltaje. La banda, colocada entre 2 poleas, es movida por un motor conectado a una de las poleas, que se encuentra a tierra. Cerca de esta polea existe un peine de puntas metálicas que se mantiene a un voltaje entre 20 y 30 KV, respecto a la placa P (Figura 14). Mediante este peine se carga la banda y ésta transporta la carga hasta la terminal de alto voltaje, donde un peine colector la recoge. Esta carga (en este caso positiva) se acumula progresivamente en la superficie exterior de la terminal y entonces el voltaje aumenta.

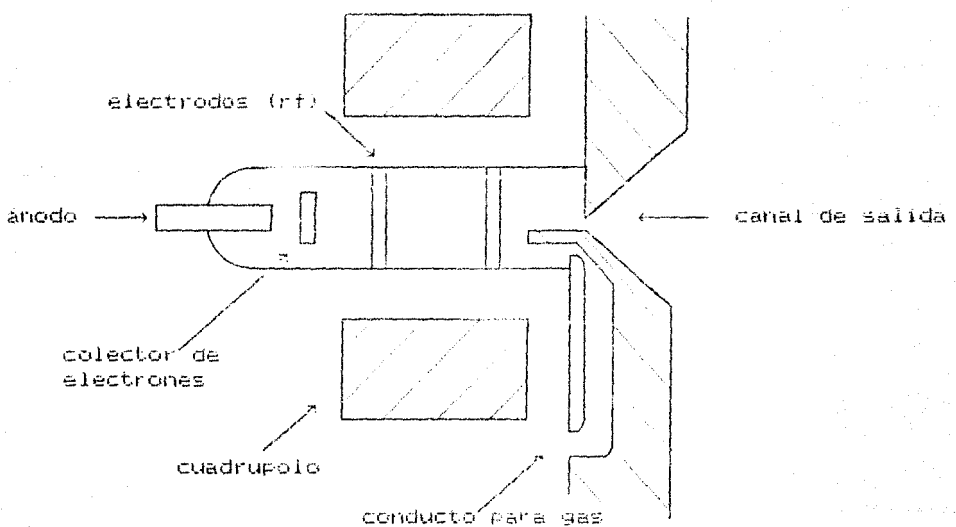
El voltaje acelerador se eleva hasta el momento en que la carga que suministra la banda se equilibra con la que se pierde por descargas. Estas descargas pueden ocurrir entre los electrodos

c entre la terminal de alto voltaje y las paredes del laboratorio. Con el fin de disminuir dichas descargas, toda la maquinaria se encierra en un tanque que contiene un gas inerte (seco y dielectrico), a una presión entre 10 y 15 atm. En este caso, el gas usado es el hexafluoruro de azufre ( $SF_6$ ).



\* Fig.14.- Acelerador Van de Graaff \*

La fuente de iones consiste en una botella llena del gas que se va a ionizar; con el fin de obtener protones, se utiliza hidrógeno. Mediante la aplicación de una señal de radio-frecuencia se logra la ionización del gas. Se trata de ondas electromagnéticas de alta frecuencia, que agitan al gas y transfieren a los electrones la energía necesaria para que se separen de los átomos del gas (13.6 eV al menos). De esta manera, se obtiene un gas ionizado o plasma, que es extraído de la botella gracias a la acción de un campo magnético creado por un cuádrupolo. En cuanto a los electrones, estos son colectados con la ayuda de un ánodo. De esta forma, la fuente de iones suministra los protones a la entrada del tubo acelerador.



\* Fig.15.- Fuente de iones \*

El haz así producido es desviado  $45^\circ$  por un electroimán, para introducirlo a la línea de vacío. Al interior de la línea, a un

vacio de  $4 \cdot 10^{-5}$  torr, el manto, el haz pase por una serie de rejillas colimadoras que definen el área transversal del haz que debe incidir sobre el blanco. Una vez que el haz ha sido colimado y que su energía es la deseada, el haz está listo para bombardear la muestra, a un cierto ángulo  $\theta_1$ .

La muestra, es decir, la lima para endodoncia, se coloca sobre un porta-blancos, dentro de la cámara de dispersión. Esta debe encontrarse a un vacío parecido al de la línea ( $10^{-6}$  torr). El vacío es producido por medio de bombas mecánicas o difusoras y, si es necesario, por otro tipo de sistemas de vacío más eficientes.

El número de protones incidentes puede ser cuantificado por medio de un integrador de corriente que se encuentra conectado directamente con el porta-blancos, ya que, en este caso, la muestra es conductora. Como la intensidad del haz puede variar con el tiempo, es común tomar los espectros de rayos X hasta que se acumula una determinada carga (hasta que un cierto número de protones ha incidido sobre la muestra).

Los rayos X producidos por los átomos de la muestra salen de la cámara a través de una ventana, de plástico Mylar, y son recogidos por un detector de estado sólido. Colocado a  $90^\circ$  respecto a la dirección del haz incidente, el detector utilizado es de silicio con litio difundido Si(Li), con una resolución de alrededor de 200 eV a 6.4 KeV y cuya curva de eficiencia fue obtenida previamente [19].

Los rayos X que llegan al detector son convertidos en pares hoyo-electrón y son recolectados; por cada fotón incidente, el detector produce un pulso de carga de tamaño proporcional a su energía. Dicho pulso es recibido, primero, por un preamplificador que lo convierte en un pulso de voltaje y, luego, por un amplificador que lo aumenta de intensidad y lo envía a un analizador multicanal.

Se trata de un analizador de altura de pulsos, con 1024 canales, que guarda el pulso en un canal, cuyo número es proporcional a la energía del fotón de rayos X original. Al ir acumulando pulsos o cuentas en el canal correspondiente a la energía del fotón incidente, en el multicanal se obtiene un espectro de energías, cuya información puede ser grabada en cintas perforadas o pasar directamente a una computadora para su análisis posterior.

## 2) PROCEDIMIENTO EXPERIMENTAL

Como se dijo antes, una de las ventajas del método PIXE es que las muestras no requieren ser destruidas y, en algunos casos, tampoco necesitan una preparación muy complicada antes de colocarlas dentro de la cámara de dispersión. En nuestro caso, únicamente se utilizó una limpiadora que funciona con ultrasónico, con el fin de retirar la suciedad superficial de la lama para endodoncia.

El siguiente paso consistió en colocar la lira sobre el porta-blancos y cerrar herméticamente la cámara. Luego, se pusieron en marcha los sistemas de vacío: una bomba mecánica y una difusora. Alrededor de 2 horas después, el vacío alcanzado al interior de la cámara y de la línea era de  $2 \cdot 10^{-6}$  torr.

Entonces, se procedió a encender el acelerador. La fuente de iones suministra los protones. Estos son acelerados por el voltaje acelerador y se crea el haz. La energía elegida para el haz fue de 650 KeV. Una vez colimado el haz, penetra en la cámara de dispersión e incide sobre la lira. Por su parte, la lira emite rayos X, que son recogidos por el detector y luego pasan por el pre-amplificador y el amplificador.

Finalmente, los pulsos provenientes del amplificador llegan al multicanal, en donde son repartidos a los diferentes canales, de acuerdo a su energía. De esta forma, en el multicanal se obtuvo el espectro de rayos X emitido por la muestra, es decir, una gráfica de cuentas (o rayos X) contra canales (o energías), cuya información será analizada a continuación.

### 3) MEDIDAS Y RESULTADOS

Con el fin de obtener el espectro de rayos X característicos, en primer lugar se realizó la calibración del multicanal, de

manera que al canal 120 corresponde la energía de la línea  $K_{\alpha}$  del fierro (6.403 keV). De esta forma se puede determinar el ancho de cada canal, es decir, el intervalo de energías de los rayos X asignado a cada canal. Así, si al canal 120 corresponde una energía de 6403 eV, el ancho por canal es:  $\Delta E = 6403/120 = 53.35$  eV.

El número de cuentas acumuladas en cada canal (300 canales en total) se grafico en papel semi-logarítmico (Figura 16). El espectro resultante está compuesto por una serie de picos característicos sobrepuertos a un continuo de cuentas debido a la radiación de fondo (*background*). Este se debe principalmente al *bremstrahlung* causado por los electrones secundarios que cruzan la muestra. Este mecanismo predomina en la parte izquierda (de bajas energías) del espectro, mientras que en la derecha lo hace el *bremstrahlung* provocado por el proyectil.

Entonces se procede a restar el *background* al espectro y a localizar los picos característicos. La energía de cada pico se determina de acuerdo a la calibración del multicanal, ya que se conoce el ancho  $\Delta E$  de cada canal. De esta forma, si pico en el canal  $n$  le corresponde la energía:  $E_n = n \Delta E$ . Por tanto, al determinar la energía de cada pico es posible identificar al elemento que lo produce, puesto que existen tablas en las que aparecen las energías características de las distintas líneas de rayos X [24].

Procediendo de esta manera, se identificaron los siguientes elementos en la lima para endodoncia:

Elemento	Z	Línea	Canal	Energía (keV)
titanio	22	K <sub>α</sub>	86	4.510
titanio	22	K <sub>β</sub>	92	4.931
cromo	24	K <sub>α</sub>	102	5.414
cromo	24	K <sub>β</sub>	111	5.946
fierro	26	K <sub>α</sub>	120	6.403
fierro	26	K <sub>β</sub>	132	7.057
níquel	28	K <sub>α</sub>	140	7.477
níquel	28	K <sub>β</sub>	155	8.263
indio	49	L <sub>α</sub>	61	3.286
indio	49	L <sub>β</sub>	67	3.487

Cuando un espectro presenta a la vez varias líneas de rayos X, es común que haya interferencia entre picos de elementos con número atómico muy parecido. Esto significa que varios elementos contribuyen simultáneamente a las cuentas de un determinado canal. Entonces, es necesario separar los picos para tener un total de cuentas que sea representativo de la concentración en la muestra del elemento que los produce. Una manera de hacerlo es ajustar los picos a gaussianas, pero sin alterar el número de cuentas en un canal determinado.

Una vez que los elementos presentes en la muestra han sido identificados por medio de los picos característicos, se procede a realizar el análisis cuantitativo. En primer lugar, se determina el número de cuentas bajo un pico particular del espectro. Lo más sencillo es sumar las cuentas con que cada canal contribuye al to-

tal de cuentas bajo el pico. La incertidumbre asociada al total de cuentas  $N_i$  del pico característico del elemento  $i$  en la muestra es:  $\pm \sqrt{N_i}$ .

En las fórmulas obtenidas en el capítulo III para cuantificar el número de rayos X (primarios y secundarios), únicamente se toman en cuenta los rayos X  $K_{\alpha}$  emitidos por los elementos de la muestra. De esta manera, se determina el número total de cuentas de rayos X  $K_{\alpha}$  producidos por cada elemento, con su incertidumbre correspondiente (Tabla 1).

Para nuestro experimento, la lima para endodoncia se bombardeó durante 2 períodos distintos, por lo que se obtuvieron 2 espectros de rayos X (para 20 y 40  $\mu C$  de carga acumulada).

Elemento	20 $\mu C$	40 $\mu C$
Ti	820 $\pm$ 29	1280 $\pm$ 36
Cr	72950 $\pm$ 270	135300 $\pm$ 368
Fe	153920 $\pm$ 393	270180 $\pm$ 520
Ni	9620 $\pm$ 98	16620 $\pm$ 123

\* Tabla 1.- Total de rayos X  $K_{\alpha}$

En el capítulo anterior se explicó como calcular el total de cuentas de rayos X  $K_{\alpha}$  (primarios y secundarios), mediante un programa de computadora. Así, para una concentración determinada de los elementos presentes en la muestra (titánio, cromo, fierro, níquel e indio), el programa calcula el número de rayos X  $K_{\alpha}$  produ-

cidos por cada uno de ellos. El objetivo es encontrar las concentraciones para las cuales el numero de cuentas calculado coincide con los valores experimentales.

El numero total de rayos  $X K_{\alpha}$  producidos por la muestra se obtiene al sumar las cuentas de los 4 elementos que los emiten (Ti, Cr, Fe, Ni). De esta manera, es posible determinar el porcentaje con que cada elemento contribuye al total de rayos  $X K_{\alpha}$  emitidos por la muestra (Tabla 2).

Elemento	20 $\mu C$	40 $\mu C$
Ti	0.346 %	0.303 %
Cr	30.62 %	30.09 %
Fe	64.97 %	64.85 %
Ni	4.06 %	3.96 %

\* Tabla 2.- Porcentaje de rayos  $X K_{\alpha}$  \*

Como se tienen 2 grupos de datos experimentales, al tomar el promedio de ambos se obtiene un valor representativo del porcentaje de rayos  $X K_{\alpha}$  que emite cada elemento en la muestra (Tabla 3).

Ti	( 0.32 $\pm$ 0.01 ) %
Cr	( 31.30 $\pm$ 0.07 ) %
Fe	( 64.51 $\pm$ 0.05 ) %
Ni	( 3.51 $\pm$ 0.03 ) %

\* Tabla 3.- Porcentaje promedio de rayos  $X K_{\alpha}$  \*

De acuerdo al experimento, el numero de rayos X L emitidos por el indio está dado por: (tabla 4)

20 $\mu$ C	1910 $\pm$ 44
40 $\mu$ C	4070 $\pm$ 64
Promedio	2990 $\pm$ 65

\* Tabla 4.- Rayos X L de indio \*

Así, mediante el programa de computadora, es necesario encontrar las concentraciones con las cuales las contribuciones percentuales (Ti, Cr, Fe, Ni) y el numero de cuentas, en el caso del indio, coinciden con las experimentales (Tablas 3 y 4).

La aleación utilizada en la fabricación de las limas para endodoncia es un acero, por lo que debe contener un cierto porcentaje de carbono. Desafortunadamente, una de las desventajas del método PIXE es que sólo logra detectar elementos con número atómico mayor que 13. Por tanto, será necesario hacer una estimación de la presencia de carbono en la muestra.

El acero es una aleación fierro-carbono en la que la concentración de carbono es inferior al 2 %. Las propiedades de un acero se pueden modificar si se agregan otros elementos. Los elementos adicionales y su concentración en un acero determinado son muy variados. La concentración de carbono en un acero con elementos adicionales varía entre 0.05 y 1.7 % (25).

Entre los elementos adicionales más comunes se encuentran: cromo, cobalto, cobre, níquel, etc. Pero también hay elementos ligeros (que son difíciles de detectar con PIXE), como aluminio, silicio, fosforo y azufre. Por todo lo anterior, para calcular la composición de la lama para endodoncia, supondremos que el 2% de la aleación lo constituyen el carbono y los elementos adicionales ligeros que no podemos detectar.

El espesor de la muestra se considerará igual al alcance del proyectil en la muestra. Tomaremos un valor de  $3 \text{ mg/cm}^2$  para el alcance del proton, con energía inicial de 650 MeV, en acero (26).

El programa realizado calcula el número de rayos X  $K_{\alpha}$  producidos por los elementos de la muestra. Sin embargo, como el indio emite rayos X L, debemos cuantificarlos mediante otro programa. Este programa es muy parecido al que calcula el número de rayos X  $K_{\alpha}$ , ya que, además de calcular los rayos X L primarios emitidos por el indio, también considerará los rayos X L intensificados, que son provocados por los rayos X  $K_{\alpha}$  de los otros elementos presentes en la muestra.

De esta manera, el número de rayos X L producidos por el indio, en las líneas  $L_{\alpha}$  y  $L_{\beta}$ , está dado por:

$$N_L = \frac{\epsilon N_{\alpha} C \omega_L}{4 \pi A} \int_0^r \sigma_L(E(x)) \exp [-\mu \times / \cos \theta_2] dx$$

donde C es la concentración y A es la masa atómica del indio.

Ademas, se tomara como fluorescencia de rayos X L promedio  $\alpha_L = .0629$  (27).

La sección eficaz de ionización para capas L del indio está dada por (1):

$$\log (\sigma U_L^2) = \sum_{n=0}^5 a_n X^n \quad y \quad X = \log E / \lambda U_L$$

donde  $U_L = \frac{1}{4} [U_{L_1} + U_{L_2} + 2 U_{L_3}]$  y los coeficientes  $a_n$  son:

$$a_0 = 3.6082 \quad a_1 = -0.36971 \quad a_2 = 0.0025063 \\ a_3 = 0.37123 \quad a_4 = -2.8593 \cdot 10^{-5} \quad a_5 = 0.0012613$$

El coeficiente de absorción  $\mu$  de la muestra, para rayos X L del indio, se obtiene a partir de la ley de Bragg:  $\mu = \sum C_i \mu_i$ , donde  $\mu_i$  es el promedio entre  $\mu_{L_\alpha}$  y  $\mu_{L_\beta}$ , que son los coeficientes de absorción de cada elemento i para los rayos X  $L_\alpha$  y  $L_\beta$  del indio (28).

Como ya se dijo, el programa funciona calculando el total de rayos X emitidos por los elementos, para una concentración determinada de éstos en la muestra. Las concentraciones buscadas son aquellas para las que el total de rayos X calculados coincide con los resultados experimentales.

Finalmente, en la lima para endodoncia se encontraron las siguientes concentraciones porcentuales (que suman 98 %):

vitámero	( 0.119 ± 0.003 ) %
crómeno	( 14.93 ± 0.04 ) %
fierro	( 73.74 ± 0.50 ) %
níquel	( 9.54 ± 0.08 ) %
indio	( 0.069 ± 0.001 ) %

\* Tabla 5.- Concentraciones de los elementos \*

Con estas concentraciones se obtienen 2860 cuentas de rayos X L primarios de indio y 101 causadas por la intensificación de los otros elementos. Así, se tiene un total de 2981 rayos X L de indio que quedan comprendidos dentro de los resultados experimentales obtenidos (Tabla 4).

En cuanto a los 4 elementos que emiten rayos X K<sub>α</sub>, su contribución porcentual al total producido por la muestra (Tabla 6) coincide correctamente con los resultados obtenidos a partir del experimento (Tabla 3).

Ir	0.325 %
Cr	31.331 %
Fe	64.311 %
Ni	3.810 %

\* Tabla 6.- Porcentajes de rayos X K<sub>α</sub> calculados \*

Por lo tanto, hemos encontrado la composición de la muestra (Tabla 5) con la que mejor se ajusta el número de rayos X calcula-

dos con los valores obtenidos experimentalmente (queda comprendido entre la incertidumbre asociada).

#### 4) CONCLUSIONES

Mediante la aplicación del método analítico PIXE, nos propusimos determinar la composición cualitativa y cuantitativa de una lima para endodoncia. Los rayos X característicos emitidos por cada elemento en la muestra son como una huella digital que permite identificarlos. Por otra parte, el número de rayos X (el área de los picos en el espectro de energías) se relaciona con la concentración de cada elemento.

Tomando en cuenta lo anterior, por medio de 2 programas de computadora (Apéndices A y B), se cuantificó el total de rayos X producidos por los elementos que constituyen la lima. Los programas calculan el número total de rayos X (primarios y secundarios) emitidos por los elementos, para una concentración determinada de éstos en la muestra. Así, la concentración que debemos encontrar es aquella con la que el número de rayos X calculado ajusta mejor con los valores experimentales (tablas 3 y 4).

De esta manera, se obtuvieron las concentraciones porcentuales de cada elemento presente en la lima (Tabla 5). Como ya se ex-

ESTA TESIS NO ES DE  
USO DE LA BIBLIOTECA

plido, se supuso que los elementos Ti, Cr, Fe, Ni, In, constituyan el 96 % de la composición de la lima. Se consideró que el 2 % restante era debido al carbono y a la presencia de otros elementos ligeros difíciles de detectar.

A partir del espectro de energías de rayos X, se logró identificar la presencia de trazas de molibdeno. Sin embargo, no fue posible cuantificar su abundancia en la lima, debido a la interferencia de varias líneas en el pico correspondiente.

El número total de rayos X  $E_{K\alpha}$  producidos por cada elemento (Ti, Cr, Fe, Ni), está dado como la contribución porcentual de estos al total emitido por la lima. De esta manera, no es necesario tomar en cuenta ni la eficiencia del detector (que en este caso incluye también al ángulo sólido subtendido por éste), ni el número de protones incidentes sobre la muestra (carga acumulada), ya que éstos se cancelan.

Este procedimiento no se pudo aplicar al indio, ya que este elemento es el único que produce rayos X L. Por tanto, se consideraron la eficiencia del detector y la carga acumulada para calcular el número de rayos X L del indio.

Como ya se dijo, los programas de computadora calculan tanto los rayos X primarios como los secundarios. Así, la intensificación del número de rayos X de un elemento, provocada por la radiación emitida por el resto de los elementos de la lima, es considerable en algunos casos. Por lo mismo, se evaluó que fracción del

total de rayos X emitidos por cada elemento corresponde a la radiación secundaria ocasionada por los otros elementos (Tabla 7).

Elemento	Radiación Secundaria
Ti	13.60 %
Cr	24.56 %
Fe	23.74 %
Ni	6.8 %
In	30.39 %

\* Tabla 7.- Porcentaje de rayos X secundarios \*

Como puede notarse, en el caso del titanio y del cromo, la intensificación del número de rayos X  $K_{\alpha}$ , debida a la radiación de los demás elementos es particularmente importante. Esto se debe principalmente a la gran cantidad de fierro en la lima (73.74 %).

Existe otro factor que favorece la producción de rayos X secundarios. Cuando la energía de la radiación primaria excitadora es ligeramente superior a la energía crítica en la orilla de absorción (absorption edge energy) de alguna capa del elemento intensificado.

En el caso de titanio, cromo y fierro, estos producen rayos X K secundarios que son provocados, principalmente, por los rayos X K primarios emitidos por el cromo, fierro y níquel, respectivamente. Se acostumbra decir que se trata de excitación o de fluorescencia  $K \rightarrow K$ .

En cuanto a la radiación secundaria producida por el indio, ésta se debe a la excitación  $K \rightarrow L$  debida a los otros elementos presentes en la lima. Cuando se trata de elementos con número atómico alto ( $Z = 49$ , para el indio), la excitación  $K \rightarrow L$  es especialmente favorecida (14).

Como ya se mencionó, una de las mayores ventajas del método PIXE es su gran sensibilidad. En nuestro análisis, se lograron resolver concentraciones de  $10^{-5}$  (0.001 %).

Los resultados del análisis se presentaron en forma de concentraciones porcentuales de cada elemento constituyente. Al evaluar las fórmulas que calculan el total de rayos X emitidos por los elementos de la lima, se consideró que las constantes que en ellas aparecen (eficiencia  $\epsilon$ , fluorescencia  $\alpha$ , fracción  $F_{\mu}$ , etc), están bien determinadas por los valores dados por las referencias.

Por otra parte, se supuso que la sección eficaz de ionización  $\sigma$  y el poder de frenamiento  $dE/dx$  estaban correctamente descritos por (11) y por (15), respectivamente. Por lo tanto, las incertidumbres asociadas a las concentraciones encontradas se deben, principalmente, a la incertidumbre del conteo de los rayos X, a partir el espectro de energías obtenido experimentalmente.

La cuantificación de los elementos presentes en la lima se puede llevar a cabo utilizando alguna otra expresión para la sección eficaz de ionización o para el poder de frenamiento. Esto nos dará la posibilidad de comparar con los resultados obtenidos en el presente trabajo.

Finalmente, podemos decir que se cumplió el objetivo del presente trabajo de tesis, al encontrar la composición de la lima para endodoncia (tabla 5). Al mismo tiempo, se pudo confirmar que el método PIXE es muy conveniente para realizar este tipo de estudios, ya que su sensibilidad es muy alta y no se requiere necesariamente la destrucción de la muestra. De esta forma, conociendo la composición química de las limas para endodoncia, aumentan las posibilidades de fabricarlas en un futuro en nuestro país.

## APENDICE A

```

10 REM PROGRAMA FIXE1
20 REM
30 REM DATOS INICIALES
40 INPUT "CUANTOS ELEMENTOS SON ";N
50 DIM Z(N),W(N),PN(N),M(N),A(N),ZE(N),E(N),LP(N)
60 DIM TE(N),ED(100,N),EW(N),D(N),SH(N),CS(N),ND
70 DIM MUN(N),C(N),NC(1,0),MI(N),IE(100),NT(10),NM(1)
80 IF N=5 THEN Z(1)=2,Z(2)=3,Z(3)=26,Z(4)=26,Z(5)=49,LP(1)=120
90 FOR I = 1 TO N
100 PRINT "Z(";I;")"; = "
110 INPUT Z(I)
120 NEXT I

130 REM LLAMA LAS CONSTANTES DE LOS N ELEMENTOS
140 REM LEE LOS PRIMEROS 31 RENDIMIENTOS
150 FOR R = 1 TO 31
160 FOR S = 1 TO 8
170 READ NR,J
180 FOR I = 1 TO N
190 IF NR(I) = S THEN W(I)=W(I)+1,PN(I)=NR(S),C(I)=NR(4)*
200          A(I)+NR(5)*ZE(I)+NR(6)*E(I)+NR(7)*IE(I)+NR(8)*LP(I)
210 NEXT I
220 NEXT J
230 NEXT R
240 REM Z(I) ES EL NUMERO ATOMICO
250 REM W(I) ES LA FLUORESCENCIA PARA RAYOS X I DEL ELEMENTO I
260 REM PN(I) ES LA FRACCION DE LOS RAYOS X EMITIDOS COMO K ALFA
270 REM C(I) ES LA ENERGIA DE IONIZACION DE LA CAPIA I EN KEV
270 REM A(I) ES EL PESO ATOMICO
280 REM ZE(I) ES EL NUMERO DE ELECTRONES EXTERNOS
290 REM NC(I) ES UNA CONSTANTE UNIDADES 1E-15 EV/CM2/ZATOMO
295 REM LP(I) ES LA ENERGIA FRONTERA DE IONIZACION EN EV

300 REM
310 REM DATOS INICIALES
320 REM SE CONSIDERA EL ALRENDUE DEL PROTON EN LA MUESTRA
330 INPUT "DAR ESPESOR DE LA CAPIA EN MG/ALMA ";ES
340 PRINT "DAR FRACCION DE LOS ";N;" ELEMENTOS EN ORDEN"
350 FOR I = 1 TO N
360 PRINT "C(";I;")"; = "
370 INPUT C(I)
380 NEXT I

```

```

360 REM
365 EU = 500
370 PRINT "ENERGIA INICIAL EN KEV EU = "; EU
375 INPUT "DELTA (RHUELE) EN MU ALM2 "; DR
380 REM
385 REM COEFICIENTES DE ABSORCION PARA LAS LIMAS L1(I,J)
390 IF M = 5 THEN 460 ELSE 540

460 REM
465 FOR I = 1 TO N
470 FOR J = 1 TO N
475 READ L1(I,J)
480 MU(I,J) = L1(I,J)
485 NEXT J
490 NEXT I
495 GOTO 590

500 REM
510 PRINT: PRINT "DAR COEFICIENTES DE ABSORCION EN CM2/G"; PRINT
520 FOR I = 1 TO N
530 PRINT "DE RAYOS X E DEL ELEMENTO Z(";I;") = ";Z(I)
540 FOR J = 1 TO N
550 PRINT "EN ABSORBEDOR Z(";J;") = ";Z(J)
560 INPUT MU(I,J)
570 NEXT J
580 NEXT I
590 FOR I = 1 TO N
600 FOR J = 1 TO N
610 MU(I,J) = MU(I,J) / 1000
620 NEXT J
630 NEXT I
640 TI = 45 : T2 = 45
645 PRINT "ANGULOS INCIDENTE TI Y SALIENTE T2"
650 PRINT "TI = ";TI : "T2 = ";T2

700 REM
710 REM IMPRIME LOS DATOS
720 PRINT "Z(1)";TAB(8);Z(2);TAB(10);A(1);TAB(29);UR(1);
    TAB(41);IP(1);TAB(31);MR(1);TAB(62);PR(1);TAB(72);E(1)
730 PRINT:PRINT
740 FOR I = 1 TO N
750 PRINT Z(I);TAB(8);Z(I+1);TAB(17);A(I);TAB(26);UR(I);
    TAB(40);IP(I);TAB(30);MR(I);TAB(61);PR(I);TAB(71);E(I)
760 PRINT
770 NEXT I
780 PRINT "ESPESOR DE LA CAPIA ES = ";ES
790 PRINT "ENERGIA INICIAL EU = ";EU
800 PRINT "DELTA (RHUELE) DR = ";DR
810 PRINT "FRACCION DE ELEMENTOS EN ORDEN C(I)"
820 FOR I = 1 TO N
830 PRINT "C(";Z(I);") = ";C(I)
840 NEXT I

```

```

850 PRINT "DESPRECINDIR LA RESOLUCION DEZ(I,J)
860 PRINT "PARA REVISAR SI EL ELEMENTO I ES UN SUBELEMENTO J"
870 FOR I = 1 TO N
880 FOR J = 1 TO N
890 PRINT "MUY(Z(I,J));";Z(I,J);":";M(I,J)
900 NEXT J
910 NEXT I
920 PRINT "ANGULO INCIDENTE TI = ";T1
930 PRINT "ANGULO SALIENTE TE = ";T2

1000 REM
1010 REM CALCULA LAS CONSTANTES DE MONTECARLO
1020 REM AM(1),BM(1),CM(1),DM(1),EN(1),FM(1),GM(2)
1025 REM SH(1) EN UNIDADES 1E-15 EV CM2 / ATOMO
1030 FOR I = 1 TO N
1035 AM(I) = 9.6e-10
1040 BM(I) = 3.12e-10
1045 CM(I) = AM(I) * BM(I)
1050 DM(I) = E(1) + EN(I) * Z(I,J) + 2e-10 * (2.7e-10)^2 * Z(I,J)^2
1055 EN(I) = 3 * (BM(I) - 2) * DM(I)
1060 E(1) = E(1) * 1.4 * BM(I)^2 * (BM(I)^2) + BM(I)^2 + DM(I)^2
1065 EN(I) = EN(I) * E(1)
1070 FM(I) = CM(I) * (EN(I) - 3) / DM(I)
1075 MIV(I) = 2.7e-10 * CM(I)
1080 NEXT I
1085 C1 = COS(T1) / 57.29578
1090 C2 = COS(T2) / 57.29578

2000 REM
2010 REM CALCULA EL COEFICIENTE DE ABSORCION MIV(I) DE LA MUESTRA
2020 REM PARA RAYOS X I DEL ELEMENTO I
2025 REM SE USA LA LEY DE BRAGG
2030 FOR I = 1 TO N
2035 MI(I) = 0
2040 FOR J = 1 TO N
2045 H(J) = L(J) * M(I,J)
2050 MI(I) = MI(I) + H(J)
2055 NEXT J
2060 PRINT "MI(";Z(I);") = ";MI(I)
2070 NEXT I
2080 PRINT

2100 REM
2110 REM INICIALIZA LA SUMA DE RAYOS X DE CADA ELEMENTO
2120 REM AL PRINCIPIO CERO RAYOS X PARA CADA ELEMENTO
2130 FOR I = 1 TO N
2140 MX(I) = 0
2150 NEXT I
2160 ER = ED
2160 RL = 0
2165 IN = 0

```

```

2170 REM
2175 REM CALCULA PARA CADA ELEMENTO
2180 FOR I = 1 TO N
2185 D(I) = 0.022 E23 * M(I) + P(I) / A(I)
2190 NEXT I
2200 REM
2210 IF RL > = ES THEN 2790
2215 REM COMIENZA INTERVALO
2220 IN = IN + 1
2225 IF ER < 10 OR IN > 400 THEN 2790
2230 REM
2235 REM SEGUN MONTENEGRO
2240 REM CALCULA EL PODER DE FRENIAMIENTO DE/DR
2245 REM CON UNIDADES KEV CM2 / KG PARA CADA ELEMENTO
2250 U = 1.19974 896 (cm)
2255 U2 = U * U
2260 FOR I = 1 TO N
2265 S1(I) = E(I) * U * F(I) * U
2270 S2(I) = AM(I) * LOG (1 + DM(I)) * Q2(I) / U2
2275 S3(I) = GM(I) / (1 + DM(I)) * U2
2280 S4(I) = F(I) * U2 * U2 / (1 + E(I) * U2) - S2(I)
2285 S5(I) = -(GM(2)*U2)^1.5 / ((1 + GM(1)*U2)^2) + ((1 + GM(1)*U2)^4)
2290 SF(I) = S1(I) + S2(I) + S3(I) + S4(I) + S5(I)
2295 REM PARA TENER DE/DR CON UNIDADES KEV CM2 / KG
2300 SE(I) = 602.2 * SF(I) / R(I)
2305 NEXT I

2310 REM
2320 REM CALCULA EL PODER DE FRENIAMIENTO SM DE LA MUESTRA
2330 REM SE USA LA LEY DE BRAHMI
2340 SM = 0
2350 FOR I = 1 TO N
2360 SM(I) = U(I) * SE(I)
2370 SM = SM + SM(I)
2380 NEXT I

2390 REM
2400 REM ENERGIA PERDIDA "DE" EN EL INTERVALO "DR"
2410 DE = SM + DR / C1
2420 REM ENERGIA PROMEDIO "EA" DEL INTERVALO
2430 EA = ER - (DE / 2)
2440 REM ENERGIA "EN" MENOS ENERGIA PERDIDA "DE"
2450 EL = EN - DE

2460 REM
2470 REM SEGUN JUHANSON
2480 REM CALCULA SECCIONES ESTICADAS EN CM2

```

```

2420 FOR I = 1 TO N
2500 R(1) = LOG(E(1)) + 10.0E-1
2510 Z(1) = Z(1) + 1(1)
2520 M(1) = M(1) + M(1)
2530 S(1) = 1.0471 * 0.065906 * Z(1) + 1.47643 * Z(1) + 1.09919 * M(1)
      + 1.04683 * M(1) + 1.217 * 0.060857 * M(1) * X(1)
2540 D(1) = 1E-20 * E(1) * S(1) / (M(1) * U(1))
2550 S(1),L(1) = S(1)
2560 REM SECCION EFICAZ S(1) = S(1),L(1)

2560 REM
2565 REM NUMERO DE RAYOS X PRIMARIOS NG(1)
2570 REM PRODUCIDOS POR PROTON INCIDENTE, EN EL INTERVALO DR
2580 NG(1) = D(1) * S(1) * DR
2590 REM
2600 REM ATENCIÓN A LA SALIDA
2610 A = 1; GOTO 7000 ; REM CALCULA TUDO
2620 REM
2625 REM NUMERO TOTAL NI(1) DE RAYOS X QUE SALEN POR ESTERADIAN
2630 NI(1) = NG(1) * 1E+1
2635 SW(1) = SW(1) + NI(1)
2640 NEXT 1

2650 REM
2660 REM CALCULA PARA CADA INTERVALO DR
2670 PRINT
2680 PRINT "IN = ",IN,TOL," DE = ",RL + DR;108.483;"E = ",E;
2690 PRINT "RAYOS X TOTALES EN EL INTERVALO DR"
2700 FOR I = 1 TO N
2710 PRINT "DEL ELEMENTO Z(",I,") = ",Z(I)," NI(",I,") = ",NI(I)
2720 NEXT I
2730 PRINT
2740 ER = RL
2750 RL = RL + DR
2760 GOTO 2200

2770 REM
2780 PRINT
2790 PRINT "RAYOS X PRIMARIOS PRODUCIDOS POR PROTON INCIDENTE"
2800 FOR I = 1 TO N
2810 PRINT "DE ",Z(I),"SW(",I,");" = ",SW(I)
2820 NEXT I

2850 REM
2860 PRINT
2870 REM CARGA Q ACUMULADA EN COULOMBES
2880 q = 30 E-6
2890 REM P = NUMERO DE PROTONES INCIDENTES SOBRE LA MUESTRA
2900 P = 0 / 1.6 E-19

```

```

2910 REM "TOTAL DE CUENTAS SECUNDARIAS PROPENSAS PARA LA MUERTE"
2920 FOR I = 1 TO N
2930 CM(I) = P * SW(I)
2940 PRINT "DEL ELEMENTO " ; Z(I) ; " CANTIDAD(I) = " ; CM(I)
2950 NEXT I

```

```

3000 REM
3010 REM EFICIENCIA EF(I) PARA LOS RAYOS X N DEL ELEMENTO I
3020 EF(1) = 1.8 E-4 ; EF(2) = 2.3 E-4 ; EF(3) = 2.6 E-4 ;
EF(4) = 2.3 E-4 ; EF(5) = 1.0 E-4
3030 REM SE DIVIDE ENTRE 1000 PARA TENER LAS UNIDADES CORRECTAS
3040 PRINT
3050 PRINT "NUMERO DE CUENTAS PRIMARIAS DEL ELEMENTO I CP(X(I)) "
3060 FOR I = 1 TO N
3070 CPX(I) = CANT(I) * EF(I) / 1000
3080 PRINT "CPX(" ; Z(I) ; ") = " ; CPX(I)
3090 NEXT I

```

```

4000 REM
4010 REM COMIENZA INTENSIFICACION PARA SECUNDARIOS
4020 REM LLAMA INTEGRAL EXPONENCIAL
4030 FOR M = 1 TO 260
4040 READ IE(M)
4050 NEXT M

```

```

4100 REM
4105 REM DEFINE CUANDO LA INTENSIFICACION ES APLICABLE
4110 REM I = ELEMENTO INTENSIFICADO (ABSORBEDOR)
4115 FOR I = 1 TO N
4120 REM E = ELEMENTO ENFRIADOR (ABSORBEDOR)
4125 FOR E = 1 TO N
4130 IF Z(E) <= Z(I) THEN 4190
4135 IF Z(E) >= 22 AND Z(I) <= Z(E) - 1 THEN 4160
4140 IF Z(E) >= 35 AND Z(I) <= Z(E) - 2 THEN 4160
4145 IF Z(I) <= Z(E) - 3 THEN 4160
4150 GOTO 4190

```

```

4500 REM
4560 PRINT
4565 PRINT "SE CALCULA LA INTENSIFICACION DE " ; Z(I) ; " POR " ; Z(E) ; " "
4570 INPUT "SI (1) O NO (2) "; NE ; PRINT
4575 IF NE = 1 THEN PRINT TAB(5) ; "IN"; TAB(10) ; "IT"; TAB(18) ; "NB";
TAB(35) ; "CEN(" ; Z(I) ; "," ; Z(E) ; ")" ; GOTO 4210
4580 PRINT : PRINT "CEN(" ; Z(I) ; "," ; Z(E) ; ")" = " ; CEN(I,E)
4585 IF E = N THEN GOTO 4195
4190 NEXT E
4195 IF I = N THEN GOTO 4205
4200 NEXT I
4205 GOSUB 5000 : REM CALCULA EL TOTAL DE CUENTAS
4207 IF N = 5 GOTO 4208 ELSE 4210
4208 IF Z(I) = 49 THEN 10000
4210 END

```

```

4210 REM
4220 REM CALCULA CANTIDADES
4225 RE = .5 + NE/100 * TAB(1); 11; TAB(1); NB; TAB(1); CS(1,E)
4230 DA = 6.002 E 13 * TAB(1); 11; TAB(1); A(E)
4235 CF = 19.3 * TAB(1); 11;
4240 REM
4245 REM NB = RAYOS X SECUNDARIOS DEL ELEMENTO INTENSIFICADOR 1
4250 NE = 0

4260 REM
4265 INPUT "DAR ESPESOR DE LOS INTERVALOS EN MM ALMEZ DR = "; DR
4270 REM COMIENZA CICLO DE Y
4275 REM YY = PROFUNDIDAD DEL RAYO X SECUNDARIO
4280 IN = 0
4290 IN = IN + 1
4300 YY = IN * 14
4310 IF YY > ES THEN 4180
4320 IF YY > ES THEN 4180

4330 REM
4340 REM COMIENZA CICLO DE Y
4350 REM Y = PROFUNDIDAD DEL RAYO X PRIMARIO (EXCITADOR)
4360 II = 0
4370 II = II + 1
4380 T = II * DR
4390 IF T > ES THEN 4200

4400 REM
4405 IF YY = YY THEN 4410 ELSE 4405 : GOSUB 6000 : REM CALCULA G0000
    EI = I - EXP(-I) + I * EI + G0000 4405
4410 REM
4415 GOSUB 6000 : REM DEFINE I
4420 REM
4425 GOSUB 6000 : REM CALCULA INTEGRAL EI
4430 REM
4435 A = I : RL = YY + DR : GOSUB 7000 : REM CALCULA TB(I)
4440 REM

4450 REM
4460 FI = CF * C(E) * C(I) * CS(II,E) * EI * TB(I) * DR * DR
4470 NE = NB + FI
4480 REM MULTIPLICAMOS POR LA EFICIENCIA EF,
4490 REM NUMERO DE PROTONES I Y DIVIDIMOS ENTRE 1000
4500 REM CSW(I,E) SON LAS CUENTAS SECUNDARIAS DEL ELEMENTO 1
4510 REM PROVOCADAS POR EL ELEMENTO EXCITADOR E
4520 CSW(I,E) = NB * F * EF(I) / 1000
4530 PRINT TAB(0); NE; TAB(10); 11; TAB(10); NB; TAB(0); CSW(I,E)
4540 GOTO 4370
4550 REM

5000 REM
5005 REM IMPRIME EL NUMERO DE CUENTAS PRIMARIAS Y SECUNDARIAS

```

```

5010 PRINT
5020 FOR I = 1 TO N
5030 PRINT "CUEV"; Z(I); " = "; C(I)
5040 NEXT I
5050 PRINT
5060 FOR I = 1 TO N
5070 FOR E = 1 TO M
5080 IF Z(I) >= E(E) THEN GOTO 5110
5090 PRINT "USW"; Z(I); ","; E(E); " = "; C(I), E
5100 IF E = N THEN GOTO 5110
5110 NEXT E
5120 IF I = N THEN GOTO 5200
5130 NEXT I
5140 PRINT

5200 REM
5210 REM TABLA DE TOTAL DE CUENTAS DE CADA ELEMENTO
5220 PRINT "CUENTAS SECUNDARIAS X(M) DEL ELEMENTO INTERNAZIONAL"
5230 FOR I = 1 TO N
5240 X(M)(I) = 0
5250 FOR E = 1 TO M
5260 X(M)(I) = X(M)(I) + USW(I,E)
5270 NEXT E
5280 PRINT "X(M)(I);"; " = "; X(M)(I)
5290 NEXT I

5300 REM
5310 PRINT
5320 PRINT "TOTAL DE CUENTAS MP(I) PRIMARIAS Y SECUNDARIAS"
5330 FOR I = 1 TO N
5340 MP(I) = LPK(I) + X(M)(I)
5350 PRINT "MP("; Z(I); ") = "; MP(I)
5360 NEXT I
5370 PRINT "TOTAL DE CUENTAS X(M) EMITIDAS POR LA MUESTRA"
5380 NT = 0
5390 FOR I = 1 TO N - 1
5400 NT = NT + MP(I)
5410 NEXT I
5420 PRINT "NT = "; NT

5430 REM
5440 REM PORCENTAJES DE LOS ELEMENTOS EN LA MUESTRA
5450 PRINT "PORCENTAJE DE CUENTAS DE CADA ELEMENTO, CONCENTRACION"
5460 FOR I = 1 TO N
5470 PC(I) = 100 * MP(I) / NT
5480 PRINT "PC("; Z(I); ") = "; PC(I); " ; C(I); " = "; C(I)
5490 NEXT I
5500 RETURN

6000 REM
6010 REM SUBRUTINA QUE CALCULA LA TRANSMISION DEL RAYO X PRIMARIO
6020 REM DESDE Y MINUSCULA (Y) HASTA Y MAYUSCULA (YY)

```

```

6030 T = M1(E) + M2(E) * T**2
6040 RETURN
7000 REM
7010 REM SUBRUTINA QUE CALCULA LA ATENUACION A LA SALIDA FOCO
7020 REM P = ELEMENTO ASORBEDOR ATENUEADO POR LA MUESTRA
7030 TR(A) = (RL + DR / L) * MEAS
7040 TB(A) = EXP (-TR(A) / Q2)
7050 RETURN

8000 REM
8010 REM SUBRUTINA QUE CALCULA INTERPOLACION DE T, DADA T > 0
8020 IF T < .5 THEN 8060
8030 IF T > 2.0 THEN 8090
8040 IF T > 1.0 THEN 8120
8050 E1 = 0 : GOTO 8150
8060 FOR J = 1 TO 50
8070 IF T > = (J-1) * .01 AND T < = (J+1) * .01 THEN F = IE(J) + (IE(J+1) - IE(J)) * (.1 - .01) * (J - 20) / 100 : E1 = 17 AUGUST 197721: 8070 8150
8080 NEXT J
8090 FOR J = 52 TO 202
8100 IF T > = (J - 20) * .1 + 2 AND T < = (J + 20) * .1 + 2 THEN E1 = IE(J) + (IE(J+1) - IE(J)) * (.1 - .01) * (J - 20) / 100 : GOTO 8150
8110 NEXT J
8120 FOR J = 203 TO 280
8130 IF T > = (J - 203) * .1 + 2 AND T < = (J + 203) * .1 + 2 THEN F = IE(J) + (IE(J+1) - IE(J)) * (.1 - .01) * (J - 203) / 100 : E1 = PEXP(-T) / T 8060 8150
8140 NEXT J
8150 RETURN

9000 REM 210 DATA (1), PR(1), LR(1), AV(1), ZM(1), TB(1), IP(1)
9001 DATA 2, 0, 0, .9138, 1.000, 1, 0, 13.36
9002 DATA 2, 0, 0, .9246, 1.000, 2, 0, 24.6
9003 DATA 3, 0, 0, .959, 1.039, 3, 0, 7.05, 47
9004 DATA 4, .000442, 1, 8, .118, 7, 0.12, 1, 11.232, 83
9005 DATA 5, .00191, 1, 8, .162, 10, 0.11, 2, 12.361, 76
9006 DATA 6, .002, 1, 8, .283, 12, 0.11, 3, 13.145, 79
9007 DATA 7, .0039, 1, 8, .437, 14, 0.07, 5, 14.253, 86
9008 DATA 8, .0058, 1, 8, .531, 15, 0.09, 6, 13.23, 89
9009 DATA 9, .008, 1, 8, .637, 16, 0.08, 7, 16.417, 118.8
9010 DATA 10, .0134, 1, 8, .874, 20, 1.03, 8, 9.748, 136
9011 DATA 11, .0192, 1, 8, 1.06, 22, 2.79, 9, 12.7, 141
9012 DATA 12, .0263, 1, 8, 1.303, 24, 3.12, 10, 18.946, 149
9013 DATA 13, .0332, 1, 8, 1.559, 26, 3.92, 11, 26.784, 162
9014 DATA 14, .047, 1, 8, 1.871, 28, 4.08, 10, 29.734, 139
9015 DATA 15, .0604, 1, 8, 2.142, 30, 4.74, 5, 16.148, 168.9
9016 DATA 16, .0751, 1, 8, 2.471, 32, 6.64, 6, 17.222, 179.2
9017 DATA 17, .0942, 1, 8, 2.819, 34, 8.59, 7, 20.216, 170.3
9018 DATA 18, .113, 1, 8, 3.203, 36, 10.48, 8, 23.833, 180
9019 DATA 19, .138, 1, 8, 3.607, 38, 12.02, 9, 25.736, 169.4
9020 DATA 20, .163, 1, 8, 3.984, 40, 13.68, 10, 27.584, 193
9021 DATA 21, .189, 1, 8, 4.361, 42, 15.36, 11, 29.586, 215
9022 DATA 22, .219, 1, 8, 4.764, 44, 17, 12, 24.292, 228

```

7020 DATA .471 , .171 , .169 , .168 , .167 , .166 , .165 , .164 , .163 , .162 , .161 , .160 , .159 , .158 , .157 , .156 , .155 , .154 , .153 , .152 , .151 , .150 , .149 , .148 , .147 , .146 , .145 , .144 , .143 , .142 , .141 , .140 , .139 , .138 , .137 , .136 , .135 , .134 , .133 , .132 , .131 , .130 , .129 , .128 , .127 , .126 , .125 , .124 , .123 , .122 , .121 , .120 , .119 , .118 , .117 , .116 , .115 , .114 , .113 , .112 , .111 , .110 , .109 , .108 , .107 , .106 , .105 , .104 , .103 , .102 , .101 , .100 , .099 , .098 , .097 , .096 , .095 , .094 , .093 , .092 , .091 , .090 , .089 , .088 , .087 , .086 , .085 , .084 , .083 , .082 , .081 , .080 , .079 , .078 , .077 , .076 , .075 , .074 , .073 , .072 , .071 , .070 , .069 , .068 , .067 , .066 , .065 , .064 , .063 , .062 , .061 , .060 , .059 , .058 , .057 , .056 , .055 , .054 , .053 , .052 , .051 , .050 , .049 , .048 , .047 , .046 , .045 , .044 , .043 , .042 , .041 , .040 , .039 , .038 , .037 , .036 , .035 , .034 , .033 , .032 , .031 , .030 , .029 , .028 , .027 , .026 , .025 , .024 , .023 , .022 , .021 , .020 , .019 , .018 , .017 , .016 , .015 , .014 , .013 , .012 , .011 , .010 , .009 , .008 , .007 , .006 , .005 , .004 , .003 , .002 , .001 , .000

9090 REM COEFICIENTES DE ABSORCION PARA 12, 23, 26, 28, 43

9091 DATA 100.0 , .101.0 , .101.0 , .104.0 , .115.0 , .117.0

9092 DATA 367.0 , .386.0 , .386.0 , .413.0 , .417.0 , .417.0

9093 DATA 360.0 , .400.0 , .400.0 , .400.0 , .400.0 , .400.0

9094 DATA 241.0 , .300.0 , .304.0 , .304.0 , .304.0 , .304.0

9095 DATA 3.10 , .11.71 , .11.71 , .11.71 , .11.71 , .11.71

9100 REM INTEGRAL ESTRUCTURADA - Segundo

9101 DATA .1 , .101.0 , .101.0 , .101.0 , .101.0 , .101.0

9102 DATA .35764 , .35764 , .35764 , .35764 , .35764 , .35764

9103 DATA .35764 , .35764 , .35764 , .35764 , .35764 , .35764

9104 DATA .35764 , .35764 , .35764 , .35764 , .35764 , .35764

9105 DATA .35764 , .35764 , .35764 , .35764 , .35764 , .35764

9106 DATA .35764 , .35764 , .35764 , .35764 , .35764 , .35764

9107 DATA .35764 , .35764 , .35764 , .35764 , .35764 , .35764

9108 DATA .35764 , .35764 , .35764 , .35764 , .35764 , .35764

9109 DATA .35764 , .35764 , .35764 , .35764 , .35764 , .35764

9110 DATA .35764 , .35764 , .35764 , .35764 , .35764 , .35764

9111 DATA .35764 , .35764 , .35764 , .35764 , .35764 , .35764

9112 DATA .35764 , .35764 , .35764 , .35764 , .35764 , .35764

9113 DATA .35764 , .35764 , .35764 , .35764 , .35764 , .35764

9114 DATA .424.38 , .449.35 , .449.35 , .449.35 , .449.35 , .449.35

9115 DATA .411.02 , .410.98 , .410.98 , .410.98 , .410.98 , .410.98

9116 DATA .372.77 , .386.76 , .386.76 , .386.76 , .386.76 , .386.76

9117 DATA .334.04 , .334.12 , .334.03 , .334.03 , .334.03 , .334.03

9118 DATA .310.6 , .310.64 , .310.61 , .310.61 , .310.61 , .310.61

9119 DATA .284.01 , .277.05 , .277.05 , .277.05 , .277.05 , .277.05

9120 DATA .260.18 , .255.71 , .251.24 , .247.03 , .242.85 , .242.85

9121 DATA .233.74 , .234.71 , .230.46 , .226.89 , .222.01 , .222.01

9122 DATA .213.98 , .213.74 , .212.17 , .208.67 , .205.24 , .205.24

9123 DATA .201.87 , .193.07 , .185.34 , .172.16 , .169.04 , .169.04

9124 DATA .185.99 , .182.99 , .180.05 , .177.17 , .174.23 , .174.23

9125 DATA .171.66 , .168.83 , .166.15 , .163.52 , .160.94 , .160.94

9126 DATA .165.41 , .165.92 , .165.48 , .161.03 , .148.73 , .148.73

9127 DATA .144.61 , .144.14 , .141.91 , .139.72 , .137.57 , .137.57

9128 DATA .130.42 , .130.37 , .131.03 , .129.03 , .127.03 , .127.03

9129 DATA .125.41 , .125.11 , .121.64 , .119.05 , .116.35 , .116.35

9130 DATA .115.22 , .114.47 , .112.76 , .111.07 , .109.41 , .109.41

9131 DATA .107.78 , .106.14 , .104.46 , .103.04 , .101.52 , .101.52

9132 DATA .100.01 , .99.34 , .99.03 , .99.67 , .99.26 , .99.26

9133 DATA .99.18 , .99.15 , .99.01 , .98.98 , .98.75 , .98.75

9134 DATA .98.63 , .98.06 , .96.98 , .96.25 , .93.42 , .93.42

9135 DATA .98.05 , .97.93 , .97.76 , .97.64 , .97.57 , .97.57

9136 DATA .97.46 , .97.39 , .97.25 , .97.15 , .97.04 , .97.04

```

9137 DATA .06341, .06341, .06341, .06341, .06341
9138 DATA .06471, .06381, .06391, .06401, .06411
9139 DATA .06021, .06031, .06041, .06051, .06061
9140 DATA .05621, .05631, .05641, .05651, .05661
9141 DATA .05241, .05161, .05081, .05001, .04921
9142 DATA .04891
9143 DATA .72001, .71879, .71842, .71802, .71724
9144 DATA .71661, .71481, .71051, .70711, .70151
9145 DATA .70621, .70371, .70141, .70021, .69901
9146 DATA .69071, .68161, .68161, .68151, .68121
9147 DATA .68261, .68261, .68141, .68131, .68171
9148 DATA .68381, .68421, .68401, .68471, .68491
9149 DATA .68521, .68491, .68561, .68631, .68601
9150 DATA .68651, .68641, .68651, .68671, .68691
9151 DATA .68761, .68721, .68741, .68761, .68781
9152 DATA .68791, .68801, .68821, .68831, .68801
9153 DATA .68861, .68871, .68871, .68881, .68811
9154 DATA .68951, .68961, .68951, .68961, .68971
9155 DATA .69021, .69021, .69021, .69011, .69021
9156 DATA .69041, .69041, .69041, .69041, .69041
9157 DATA .69071, .69061, .69071, .69021, .69101
9158 DATA .69121, .69121, .69141, .69141, .69141
9159 DATA .69161

```

```

10000 REM
10005 REM INDIO E = 49
10010 PRINT "SE CALCULA LA INTENSIFICACION DE LAS LINEAS L DE 49"
10020 PRINT "POR PARTE DE LOS LINEAS K DE LOS OTROS ELEMENTOS ? "
10030 INPUT "SI (1) O NO (0) ? "; BN
10035 IF BN = 1 THEN 4210
10040 WL = 0.62911; REM FLUORESCENCIA DEL INDIO
10045 INPUT "DAR ESPESOR DE LOS INTERVIENDES DE = "; DRA
10050 FOR J = 1 TO 3
10060 REM COEFICIENTES DE ABSORCION NUEVOS PARA RAYOS X L DE 49
10070 READ MU(J)
10080 MU(J) = MU(J) / 1000
10090 NEXT J

```

```

10100 REM
10110 REM COEFICIENTE DE ABSORCION N DE LA MUESTRA
10115 REM PARA RAYOS X L DEL INDIO
10120 N = 0
10130 FOR J = 1 TO 3
10140 H(J) = C(J) * MU(J)
10150 N = N + H(J)
10160 NEXT J

```

```

10200 REM
10210 HB = 1.5 * WL ** 2.3
10220 FOR I = 1 TO 4
10230 DA(I) = 6.022 E23 * WK(I) * PR(I) / A(I)
10240 CF(I) = DA(I) * HB * MU(1,5)

```

```

10200 REM
10200 IN = 0
10220 REM TABLA RAYOS X L DEL INDIO PROVOCADOS POR EL ELEMENTO I
10240 NE(I) = 0
10260 REM COMIENZA CICLO DE YY
10280 IN = IN + 1
10300 YY = IN * DR
10320 IF YY > ES THEN 10200
10325 TI = 0
10340 REM COMIENZA CICLO DE Y
10360 TI = TI + 1
10380 Y = TI * DR
10400 IF Y > ES THEN 10200
10420 IF Y = YY THEN T = M(I) + DR : GOSUB 8000 :
10440 EI = TI - EXP(-T) + TI + EI : GOTO 10400
10460 T = M(I) + ABS(0.1 * TI)
10480 GOSUB 8000 : REM CALCULA INTEGRAL EI
10500 REM
10510 RL = YY - DR
10520 REM CALCULA LA ATENUACION A LA SALIDA
10530 TR = (RL + DR) / DR * TI
10540 DR = EXP(-TR / DR)
10550 F(I) = DR * F(I) + DR * SQR(TI) * EI * TI + DR * DR
10560 NE(I) = NE(I) + F(I)
10570 PRINT TAB(0);IN; TAB(10);TI; TAB(15);NE(I)
10580 GOTO 10340

10600 REM
10610 REM CUENTAS DEBLAS DEL ELEMENTO EXCITADOR I
10620 PRINT "TOTAL DE CUENTAS DE RAYOS X L DE INDIO"
10630 CL(I) = NE(I) * P * PI / 1000
10640 PRINT "PROVOCADAS POR EL ELEMENTO EXCITADOR ",CL(I)
10650 PRINT "CL(I)/Z(I) = ",CL(I)
10660 NEXT I

10680 REM
10690 CLI = 0
10700 FOR I = 1 TO 4
10710 CLI = CLI + CL(I)
10720 NEXT I
10730 PRINT "TOTAL DE CUENTAS CLI DE RAYOS X L DE INDIO"
10740 PRINT "CLI = ",CLI

11000 REM
11010 REM COEFICIENTES DE ABSORCION PARA LOS RAYOS X L DEL INDIO
11020 REM EN ABSORBEDORES 22, 24, 26, 28, 49 (PROMEDIO)
11030 DATA 249.702 , 221.638 , 405.6849 , 302.2603 , 474.624

```

## APENDICE B

```

400 REM
405 REM CALCULA EL COEFICIENTE DE ABSORCION DEL RAYO INDIO
410 REM PARA RAYOS X EN UN ELEMENTO CON N = 40 (INDIO)
415 MI = 0
420 FOR J = 1 TO 2
425 H(J) = C(J) * ME(J)
430 ME = ME + H(J)
435 NEXT J
440 PRINT "COEFICIENTE DE ABSORCION PARA RAYOS X DEL INDIO"
445 PRINT "MI = "; MI
450

500 REM
510 REM CALCULA LAS CONSTANTES DE MONTENEGRO
520 REM AM(1) EN UNIDADES REV CM2 / ATOMO
530 FOR I = 1 TO 2
540 AM(I) = 9.5616 * Z(I)
550 BM(I) = 34.30 / IP(I)
560 CM(I) = AM(I) * BM(I)
570 EM(I) = E(I) / CM(I) + BM(I) / Z(I) + 3 * ZE(I) / (Z + Z(I))
580 EN(I) = Z * (EM(I) + BM(I))
590 EI(I) = (Z(I)*1.4) * BM(I) * (DM(I))2 + BM(I)2 * (D + DM(I))2
600 EM(I) = EN(I) / EI(I)
610 FM(I) = CM(I) + EM(I) * Z / DM(I)
620 LM(I) = Z / (Z + CM(I))
630 NEXT I
640

700 REM
710 REM INICIALIZA LA SUMA DE RAYOS X DEL INDIO
720 SM = 0
730 EN = 20
740 EM = 0
750 IN = 0
760

770 REM
775 REM PARA EL INDIO
780 D = 6.022 E23 * MI / 6.02
790 IF RL > = ES THEN 1170
795 REM COMIENZA INTERVALO
800 IN = IN + 1
810 IF EM < 10 OR IN > 400 THEN 1170
815

900 REM
905 REM CALCULA EL PODER DE FRENIAMIENTO SEGUN MONTENEGRO
910 REM CON UNIDADES REV CM2 / MM
915 U = 1.1927 * SM / EM
920 U2 = U * U
925 FOR I = 1 TO 2
930 S1(I) = K(I) * U * EM(I) * U
935 S2(I) = AM(I) + L05 (1 + EM(I) * U2) / U2
940 S3(I) = EM(I) / (1 + DM(I) * U2)
945 S4(I) = FM(I) * U2 * U2 / ((1 + EM(I) * U2) * U2)

```

```

3500 SUBT = 0.0001 * DR / (C(1) * C(2)) * EXP(-C(3) * DR)
3505 SM(1) = S1(1) * EXP(-C(3) * DR) + 2.317 * 10^-12
3510 REM PARA CONVERTIR UNA UNIDAD A OTRA UNIDAD DE UNIDAD
3515 SM(2) = 6.022 * 10^23 * SM(1) * 10^-12
3520 NEXT I

3900 REM SE CALCULA EL PODER DE FRENAMIENTO DE LA MUESTRA
3905 SM = 0
3910 FOR I = 1 TO 5
3915 SM(I) = C(1) * SM(I)
3920 SM = SM + SM(I)
3925 NEXT I

3950 REM
3955 REM ESTIMACION PERIODICA "PE" EN EL INTERVALO DR
3960 DE = SM * DR / C1
3965 REM ENERGIA PROMEDIO "EA" DEL INTERVALO
3970 EA = DE / (DE / 2)
3975 REM ENERGIA "EL"
3980 EL = EA - DE

1000 REM
1005 REM SECCIONES EFICACES EN CM2 PARA EL INICIO SEGUN JOHANSSON
1010 X = LOG(CB1 / (1926 * RL))
1015 DR = 4 * X + 102 = M2 * X
1020 RS = 0.6082 * .37129 * X + 1.06871 * X2 + 7.2393 E-5 * X3
      + 1.0025049 * X4 + M2 * X2 + 1.0012610 * X2 * M3
1025 SR = 1E-20 * EA / (RS) + 1.01 * DR

1050 REM
1055 REM NUMERO DE RAYOS X PRIMARIOS PRODUCIDOS POR EL INDIO
1060 REM POR PROTON INCIDENTE, EN EL INTERVALO DR
1065 NX = D * C(5) * RS / DR
1070 REM
1075 REM ATENUACION A LA SALIDA
1080 TR = (RL + DR / 2) * MI
1085 TB = SWP / (TR / C2)

1100 REM
1105 REM NUMERO DE RAYOS X QUE SALEN POR ESTERADIAN NT
1110 NT = NX * TB
1115 REM SX TOTAL DE RAYOS X
1120 SM = SX + NT

1130 REM
1135 REM CALCULA PARA CADA INTERVALO
1140 PRINT "IN = ";IN,"HLDR = ";HLDR;TAB(100);"EL = ";EL,"SM = ";SM
1150 SK = SL
1155 RL = RL + PR
1160 GOTO 770

```

1170 REM  
1175 REM NÚMERO F DE PRODUCIONES INDICENTES DURANTE LA MULATURA  
1180 Q = 30 E-6 ; REM UNIDAD EN COLOMBIA  
1185 P = Q / 1.6 E-19  
1190 REM EFICIENCIA DEL DETECTOR  
1195 EF = 1 E-4

1200 REM  
1205 PRINT  
1210 PRINT "TOTAL DE CUENTAS PRIMIGIAS PRODUCIDAS POR EL INDIO"  
1215 CM = P \* 10 \* EF / 1000  
1220 REM DIVIDIEMOS ENTRE 1000 PARA TENER LAS UNIDADES CORRECTAS  
1225 PRINT "CM"; 240;" );" ; CM

	2000	2001	2002	2003	2004	2005
REM	E(1)	E(1)	E(1)	E(1)	E(1)	E(1)
DATA	22	47.9	11	24.0294	228	238
DATA	24	51.996	14	19.9	237	237
DATA	26	55.947	16	17.932	234	234
DATA	28	58.91	18	17.752	314	314
DATA	49	114.610	21	31.127	479	479

2010 REM COEFICIENTES DE RECUPERACION PARA LOS RAYOS X L DEL INDIO  
2011 REM EN ABSORBEDORES 12, 24, 36, 28, 48  
2012 DATA .219.902 , .321.6365 , .403.6345 , .502.9605 , .474.624

## R E F E R E N C I A S

- (1) S.A.E. Johansson y T.B. Johansson  
Nuclear Instruments and Methods. 137 (1976) 473
- (2) PIXE and its Analytical Applications  
Nuclear Instruments and Methods. B 22 (1987)
- (3) D. Lichtenhan, A.W. Overdorff (Ed.)  
Methods of Surface Analysis. Elsevier Sci. Publ. Comp., 1975
- (4) W.K. Chu, M.A. Nicolet y J.W. Mayer  
Backscattering Spectrometry. Academic Press , 1977
- (5) W.K. Chu, J.F. Ziegler (Ed.)  
New Uses of Ion Accelerators. Plenum Press , 1975
- (6) J.A. McHugh  
Methods of Surface Analysis. Elsevier Sci. Publ. Comp., 1975
- (7) J.M. Morabito y R.K. Lewis  
Methods of Surface Analysis. Elsevier Sci. Publ. Comp., 1975
- (8) E.A. Wolicki, J.F. Ziegler (Ed.)  
New Uses of Ion Accelerators. Plenum Press , 1975
- (9) F. Burriel-Martí y J. Ramírez-Muñoz  
Flame Photometry. Elsevier Publishing Company , 1957
- (10) E. Merzbacher y H.W. Lewis  
Encyclopedia of Physics. Vol.34, Springer-Verlag , 1958
- (11) D.H. Madison y E. Merzbacher. B. Crasemann (Ed.)  
Atomic Inner-Shells Processes. Vol. 1. Academic Press , 1975
- (12) E.C. Montenegro. Tesis Doctoral  
Universidad Pontificia Católica de Rio de Janeiro , 1980

- [13] J.D. Garcia, R.J. Fortner y T.M. Kavanagh  
Reviews of Modern Physics. 46 (1973) 111
- [14] W. Reuter, A. Lurio, F. Cardone y J.F. Ziegler  
Journal of Applied Physics. 46 (1975) 3194
- [15] E.C. Montenegro, S.A. Cruz y C. Vargas-Aburto  
Physics Letters. 92A (1982) 195
- [16] R. Woldseth  
 $\bar{\gamma}$ -Ray Energy Spectrometry. Revex Corporation, 1973
- [17] J.H. Scofield  
Physical Review. A9 (1974) 1041
- [18] E.C. Montenegro, G.B. Baptista y P.W.E.P. Duarte  
Atomic Data and Nuclear Data Tables. 21 (1978) 131
- [19] E.C. Montenegro, A. Oliver y F. Aldape  
Nucl. Instr. and Meth. in Phys. Res. B12 (1985) 453
- [20] C.W. Lewis, R.L. Watson y J.B. Natowitz  
Physical Review. A5 (1972) 1773
- [21] S.J.B. Reed  
British Journal of Applied Physics. 16 (1965) 913
- [22] M. Abramowitz e I.A. Stegun  
Handbook of Mathematical Functions. Dover, 1964
- [23] J. Rickards y E.P. Zironi  
Nuclear Instruments and Methods. B29 (1987) 527
- [24] G.G. Johnson y E.W. White  
ASTM Data Series. DS (1970) 46
- [25] A. Castell y A. Dupont  
Technologie Professionnelle Générale. Desforges, 1975
- [26] J.F. Janni  
Atomic Data and Nuclear Data Tables. 27 (1982) 147
- [27] D.D. Cohen  
Nuclear Instruments and Methods. B22 (1987) 55
- [28] J.W. Mayer y E. Rimini  
Ion Beam Handbook for Material Analysis. Academic Press, 1977